

МИНИСТЕРСТВО ТОРГОВЛИ И ПРОМЫШЛЕННОСТИ.  
ОТДѢЛЪ ТОРГОВЫХЪ ПОРТОВЪ.  
ГИДРО-МЕТЕОРОЛОГИЧЕСКІЕ КУРСЫ.

INVENTAARI

Nr. 1999

5291  
T<sub>v</sub> 4094

МЕТЕОРОЛОГИЧЕСКІЕ ПРИБОРЫ.

ПРОИЗВОДСТВО И ОБРАБОТКА НАБЛЮДЕНИЙ.

(Пособіе для практическихъ занятій по метеорології).

С. ОХЛЯВИНИНЪ.



Чертежи и рисунки.

ПЕТРОГРАДЪ.  
Государственная Типографія.  
1915.

## ОГЛАВЛЕНИЕ ЧЕРТЕЖЕЙ И РИСУНКОВЪ.

	СТР.
I. Давленіе . . . . .	2—9.
II. Температура воздуха . . . . .	10—13.
III. Температура почвы . . . . .	12—15.
IV. Испареніе . . . . .	16—19.
V. Влажность воздуха . . . . .	18—23.
VI. Установка приборовъ (будки и кѣтка) . . . . .	24—27.
VII. Осадки . . . . .	26—27.
VIII. Снѣжный покровъ . . . . .	28—33.
IX. Облака . . . . .	32—45.
X. Геліографы. . . . .	46—47.
XI. Вѣтеръ (см. самописцы) . . . . .	48—55.
XII. Самописцы (см. вѣтеръ) . . . . .	54—65.
XIII. Солнечные часы . . . . .	66—69.

## Давленіе.

Рис. 1 (стр. 2). Нормальный ртутный барометръ Реньо. А—сосудъ съ ртутью, в—барометрическая трубка, а—конецъ винта, который визируется катетометромъ, е—угольникъ черезъ который проходитъ винтъ. Справа барометрической трубки термометръ.

Рис. 2 (стр. 2). Ртутный барометръ Паррота съ подвижной шкалой. К—кремальера для передвиженія шкалы, Л—подвижная шкала, С—костяной конецъ шкалы съ мяѣткой, г—стержень поплавка, Р—О—поплавокъ, S—пробка, закрывающая при перевозкѣ отверстіе М.

Рис. 3 (стр. 3). Ртутный барометръ Фортена съ подвижной чашкой. На—штифтъ, конецъ котораго соотвѣтствуетъ нулю шкалы, R—стеклянное кольцо, черезъ которое наблюдалася поверхность ртути въ чашкѣ, P—кожаное дно чашки съ ртутью, V—подъемный винтъ, Т—барометрическая трубка.

Рис. 4 (стр. 4). Чашечный ртутный барометръ. а—кольцо для подвѣшиванія, в—кремальера для передвиженія кольца съ ноніусомъ, с—винтъ, разъединяющій чашку съ наружнымъ воздухомъ, т—чашка.

Рис. 5 (стр. 6). Ртутный сифонный барометръ Краевича. А—короткое колѣно, К—кранъ, разъединяющій короткое отъ длиннаго колѣна (барометрической трубки), В—барометрическая камера, д—вторая маленькая камера, наполненная ртутью, е—верхній кранъ, противъ 1 (справа) кремальера, передвигающая верхнюю и нижнюю трубки шкалы. Слѣва термометръ.

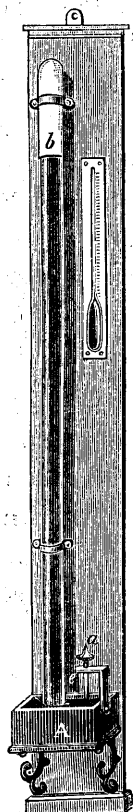


Рис. 1.

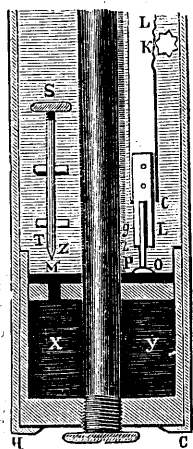


Рис. 2.

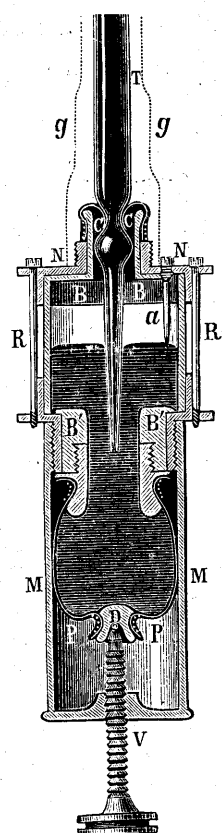


Рис. 3.

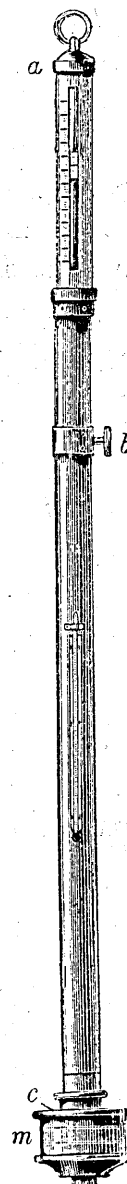


Рис. 4.

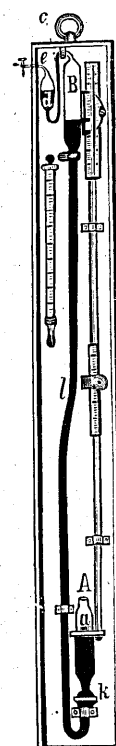


Рис. 5.

Рис. 6 (стр. 9). Ртутный сифонно-чашечный барометръ Вильда-Фусса, верхняя (слѣва) и нижняя (справа) части. N—кольцо съ ноніусомъ, d—ноніусъ, b—шкала, A—барометрическая трубка, O—расширеніе короткаго колѣна въ мѣстѣ, гдѣ проходитъ барометрическая трубка, S—колпачекъ, закрывающій отверстіе, соединяющее наружный воздухъ съ воздухомъ короткаго колѣна, B—трубка короткаго колѣна, C—пластиинка, нижній край которой устанавливается на 0 шкалы, K—винтъ, закрѣпляющій эту пластинку, C—кожаное дно чашки, опирающееся на подъемный винтъ.

Рис. 7 (стр. 10). Ртутный барометръ Вильда-Туреттини—слѣва въ оправѣ, а справа въ разрѣзѣ. S—мѣсто подвѣса, m—пластиинка, соединяющая обѣ трубки, k и l—мѣдныя оправы трубокъ, г—термометръ, A—кремальера для передвиженія кольца съ ноніусомъ, B—кольцо, нижній край котораго соответствуетъ 0 школы, i отверстіе, соединяющее наружный воздухъ съ короткимъ колѣномъ, h—подъемный винтъ.

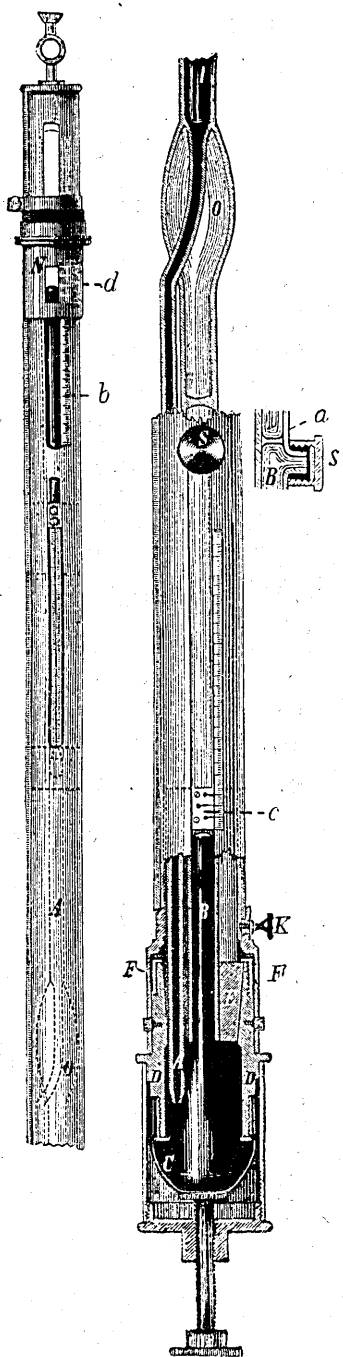


Рис. 6

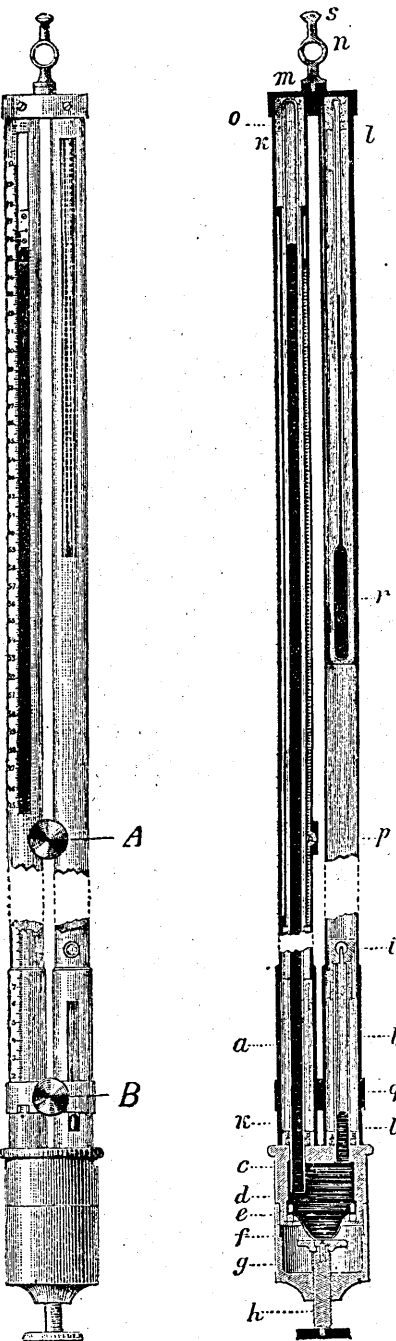


Рис. 7.

Рис. 8 (стр. 12). Верхняя часть чашечного барометра съ ноніусомъ: слѣва въ металлической оправѣ (отсчетъ 753,4), а справа (рис. 8а) часть металлической оправы удалена (отсчетъ 750,4). На рисункѣ видно правильное положеніе кольца съ ноніусомъ по отношенію къ мениску ртути.

Рис. 9 (стр. 12). Верхняя часть съ ноніусомъ и нижняя часть съ 0 шкалы барометра Вильда-Фусса (отсчетъ 760,5). На рисункѣ показана правильная установка кольца съ ноніусомъ и подведеніе ртути къ 0 шкалы.

Рис. 10 (стр. 23). Анероидъ. а—безвоздушная коробка, б—пластиинка, облегчающая коробкѣ измѣнять свой объемъ, с—стрѣлка, указывающая давленіе, д—термометръ.

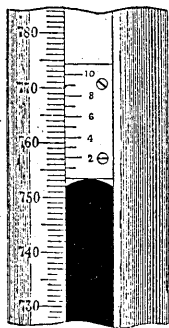


Рис. 8.

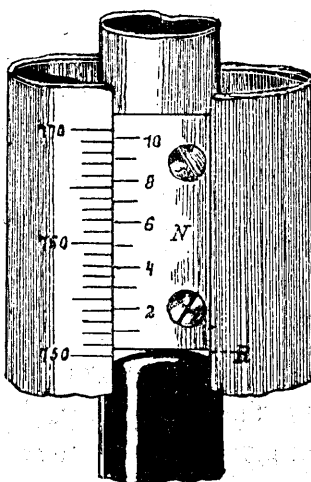


Рис. 8а.

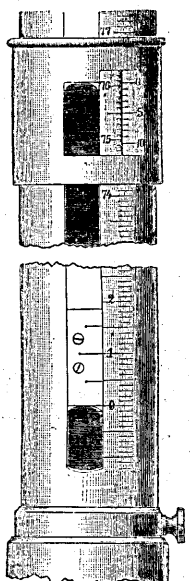


Рис. 9.

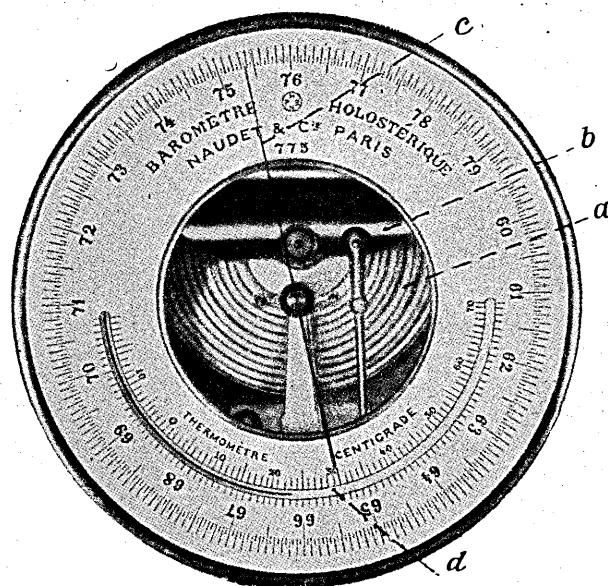


Рис. 10.

Рис. 11 (стр. 25). Гипсотермометръ. Справа футляръ для защиты прибора отъ вѣтра, внизу къ нему приставленъ сосудъ (двойной) для воды и спирта. Слѣва самый приборъ. а—спиртовая лампа, б—подставка, с—сосудъ съ водой, д—крышка, закрывающая сосудъ, е—двойная трубка, въ которую вставляется термометръ, f—резиновое кольцо, удерживающее термометръ на нужной высотѣ, т—термометръ.

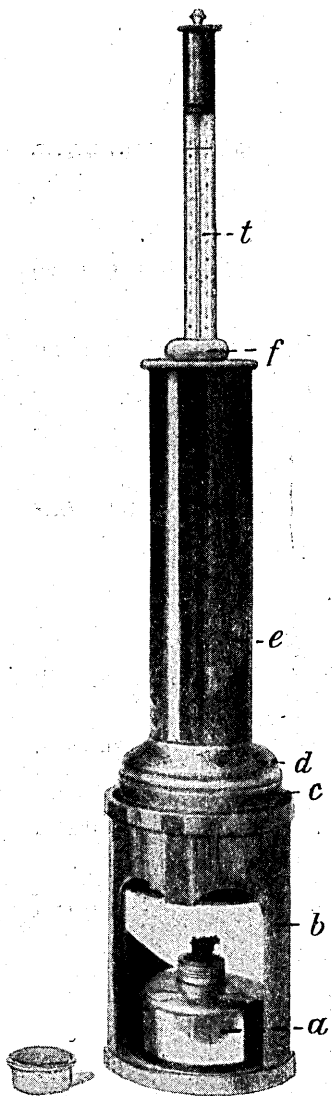


Рис. 11.

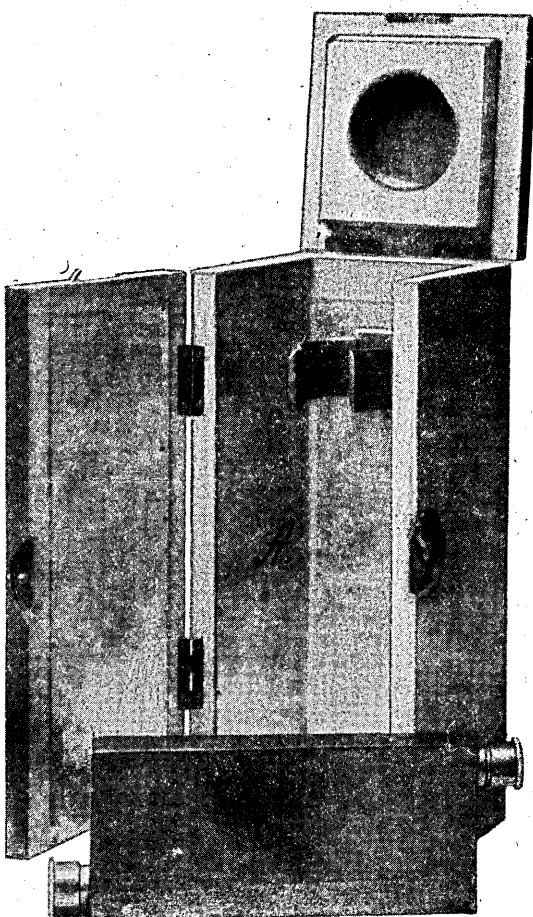


Рис. 11а.

### Температура.

Рис. 12 (стр. 30, 31, 41). Минимальный термометръ (отсчетъ— $25^{\circ}4$ ).

Конецъ ртутнаго столбика въ различныхъ термометрахъ.

Рис. 13 (стр. 41). Каждый градусъ раздѣленъ на 5 частей (по 0.2) отсчетъ  $15^{\circ}4$ .

Рис. 14 (стр. 41). Каждый градусъ раздѣленъ на 5 частей (по 0.2) отсчетъ  $15^{\circ}7$ .

Рис. 15 (стр. 32, 41). Каждый градусъ раздѣленъ на 5 частей (по 0.2) отсчетъ— $1^{\circ}7$ .

Рис. 16 (стр. 32, 41). Каждый градусъ раздѣленъ на 2 части (по 0.5) отсчетъ  $7^{\circ}6$ .

Рис. 17 (стр. 32, 41). Каждый градусъ раздѣленъ на 2 части (по 0.5) отсчетъ— $11^{\circ}2$ .

Рис. 18 (стр. 41). Каждый градусъ раздѣленъ на 5 частей (по 0.2) отсчетъ  $1^{\circ}3$ .

Рис. 19 (стр. 41). Каждый градусъ раздѣленъ на 5 частей (по 0.2) отсчетъ  $0^{\circ}4$ .

Рис. 20 (стр. 41). Каждый градусъ раздѣленъ на 5 частей (по 0.2) отсчетъ— $1^{\circ}6$ .

Рис. 21 (стр. 41). Каждый градусъ раздѣленъ на 5 частей (по 0.2) отсчетъ— $0^{\circ}7$ .

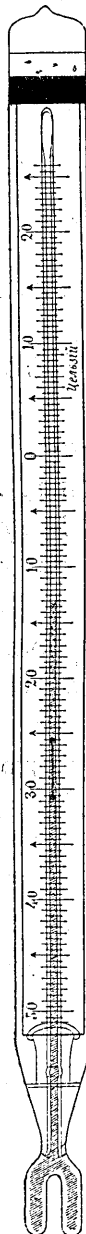


Рис. 12.

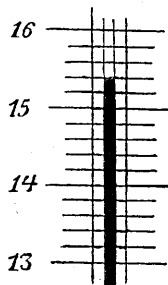


Рис. 13.

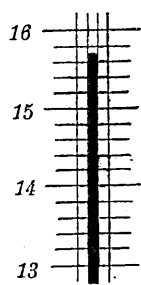


Рис. 14.

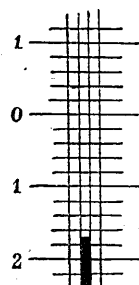


Рис. 15.



Рис. 16.

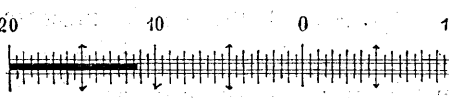


Рис. 17.

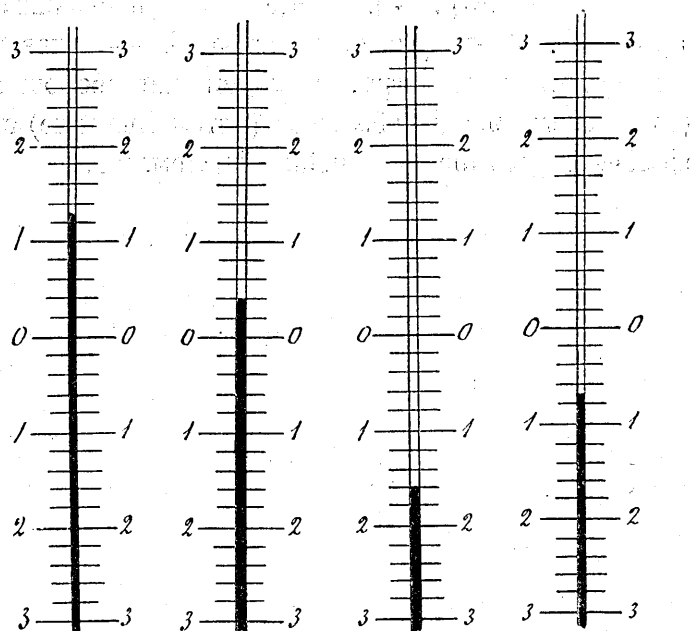


Рис. 18.

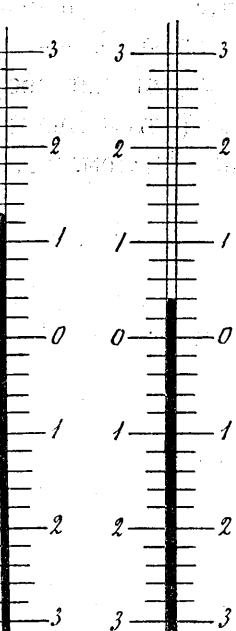


Рис. 19.

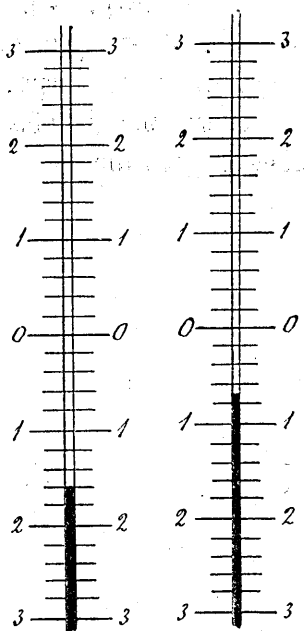


Рис. 20.

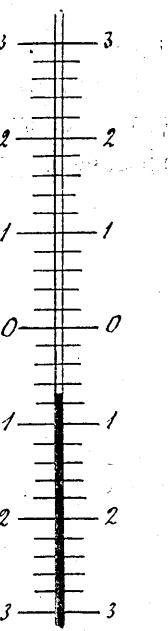


Рис. 21.

Рис. 22 (стр. 41). Шкала минимального термометра раздѣлена на полуградусы, отсчетъ  $4^{\circ}7$ .

Рис. 23 (стр. 41). Шкала минимального термометра раздѣлена на полуградусы, отсчетъ  $-4^{\circ}7$ .

Рис. 24 (стр. 44). Почвенный термометръ Савинова.

Рис. 25 (стр. 45). Почвенный термометръ Шукевича. А—направляющая бурь доска съ кольцами на 20 и 40 см., В—бурь, дѣлающій скважину для термометра, поставленъ на глубину 40 см.

Рис. 25а (стр. 45). Общій видъ почвенного термометра Шукевича. а—шкала термометра, в—никелевая гильза на резервуарѣ термометра, с—подвижная оболочка шкалы, д—дискъ, соединяющій оболочку (металлическую) съ эbonитовой оболочкой удлиненной шейки термометра.

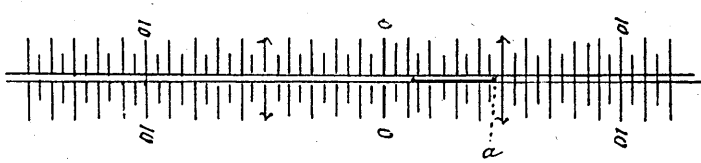


Рис. 22.

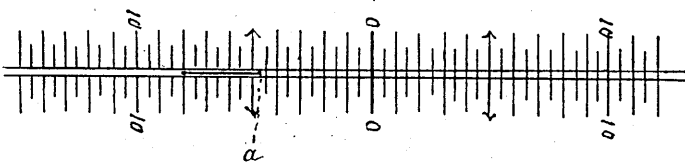


Рис. 23.

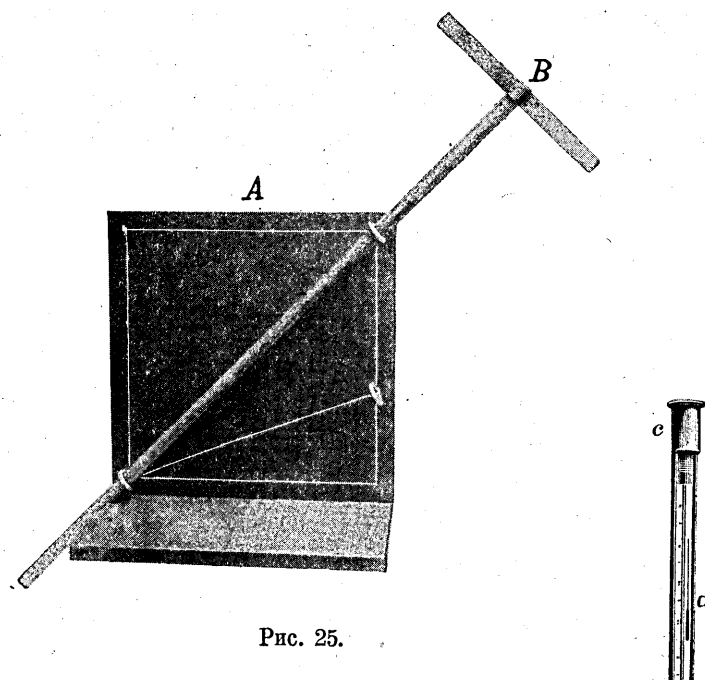


Рис. 25.

Рис. 24а.



Рис. 25а.

Рис. 25б (стр. 45). Верхняя часть термометра Шукеевича: противъ а—термометръ-атташе.

Рис. 26 и 26а (стр. 43). Почвенный вытяжной термометръ: а—мѣдный дискъ, б—эбонитовая трубка, с—мѣдный колпакъ, закрывающій трубку (эбонитовую), д—деревянная палка, соединяющая термометръ съ мѣднымъ колпакомъ, е—латунная оболочка термометра, f—термометръ.

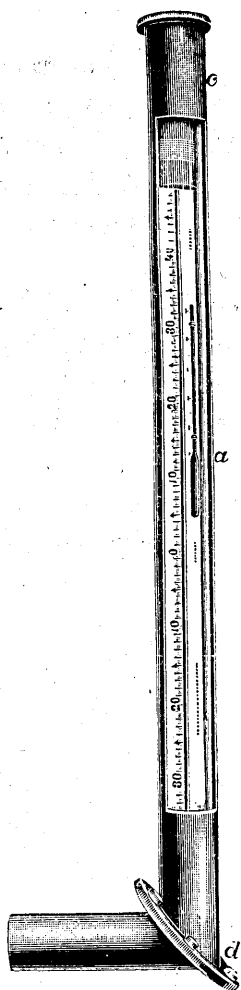


Рис. 25б.

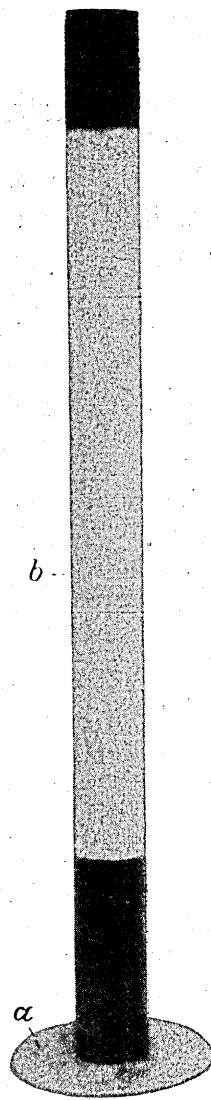


Рис. 26.

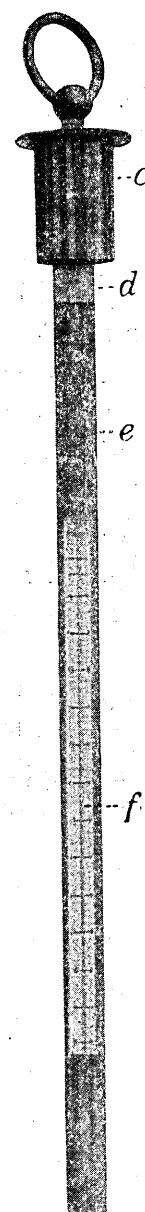


Рис. 26а.

### Испарение.

Рис. 27 (стр. 51). Испаритель Вильда. А—подставка въсовъ, В—направляющій стержень въсовъ, С—чашка съ водой, С<sup>1</sup>—запасная чашка, D—указатель въсовъ, G—шкала въсовъ, Е—шкафчикъ испарителя, F—чашка съ хлористымъ кальциемъ или сѣрной кислотой, Н—сѣтка, защищающая чашки отъ птицъ.

Рис. 28 (стр. 54. 84). Испаритель Лермантова-Любославскаго. А—верхній сосудъ, В—нижній сосудъ, С—трубка, соединяющая сосуды А и В, D—трубка, соединяющая сосудъ В съ наружнымъ воздухомъ, Е—пробка (трубка), закрывающая трубку С, F—резиновое кольцо пробки, G—шайба, сжимающая кольцо F, Н—баранчикъ, поднимающій шайбу G, I—отверстія въ трубкѣ для стока воды, К—стержень съ грузомъ для установки прибора на водѣ.

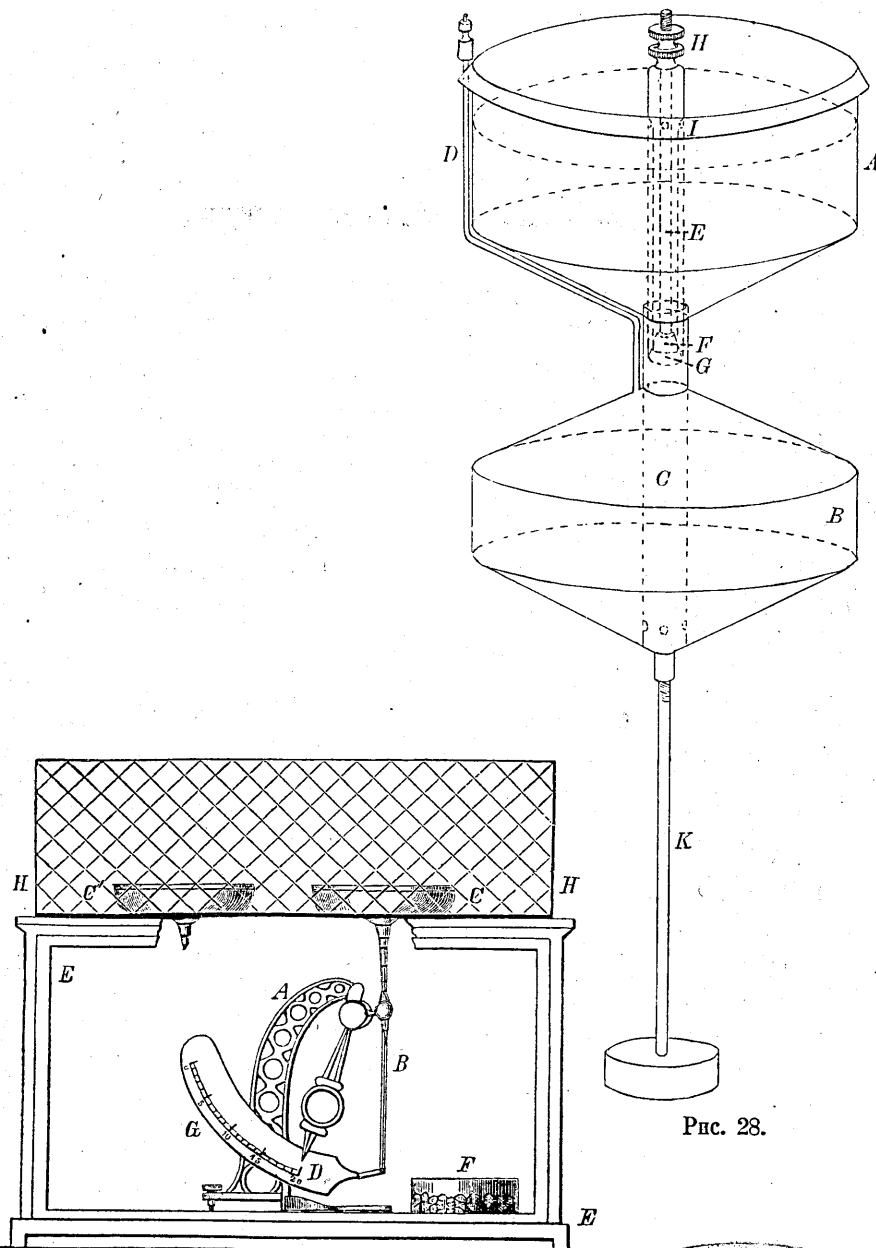
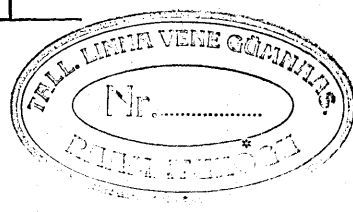


Рис. 27.

Рис. 28.



### Испарение и влажность воздуха.

Рис. 29 (стр. 60). Испаритель Высоцкаго. А—сосудъ съ пескомъ, испаряющимъ воду, смачивающую его снизу и поднимающуюся по трубкѣ р изъ наружнаго сосуда С. В—поплавокъ, на которомъ устанавливается сосудъ А, н—отверстія для наполненія поплавка В балластомъ, D—крышка наружнаго сосуда, т—отверстіе для подливанія воды въ сосудъ С, к—мѣдное кольцо, по краю которого опредѣляется количество испарившейся воды (шкала укрѣплена на сосудѣ А), Е—F—крышка-навѣсъ, защищающая сосудъ А отъ дождя (рѣдко устанавливается).

Рис. 30 (стр. 63). Установка психрометра Августа (въ цинковой клѣткѣ Вильдовой будки или въ англійской будкѣ). Между сухимъ и смоченнымъ термометрами находится волосный гигрометръ, внизу горизонтально укрѣпляются максимальный (на рисункѣ есть) и минимальный (на рисункѣ нѣть) термометры.

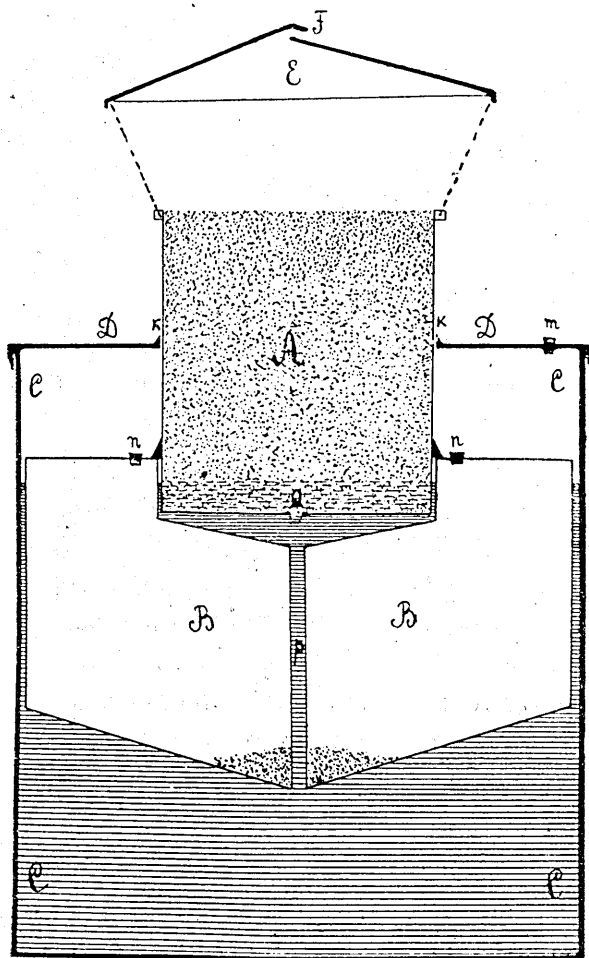


Рис. 29.

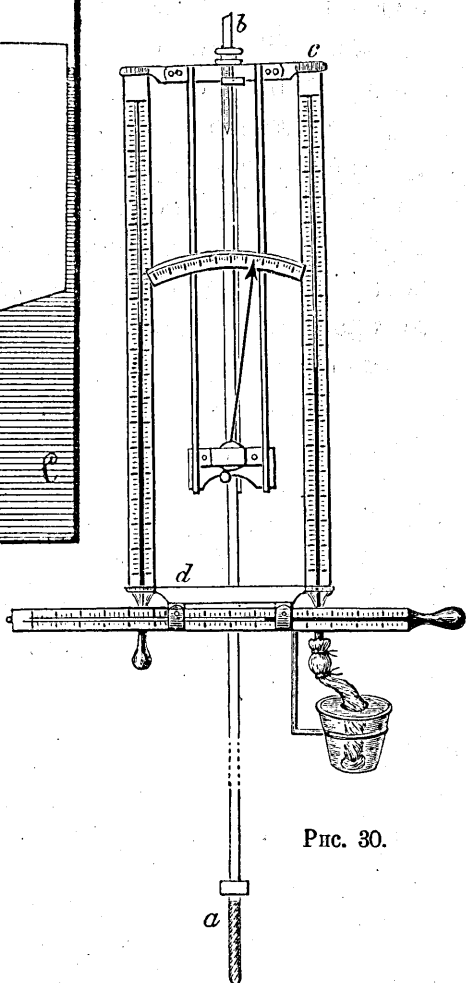


Рис. 30.

Рис. 31 (стр. 64). Нижняя часть психрометра Августа.

Рис. 32 (стр. 64).. Конецъ смоченного термометра съ обрѣзаннымъ батистомъ.

Рис. 33 (стр. 68). Психрометръ Ассмана: а—сухой термометръ, б—смоченный термометръ, с—трубка вентилятора,  $dd_1$ —металлическія полоски, защищающія термометры,  $f$  и  $f_1$ —наружныя трубки, защищающія резервуары термометровъ,  $g$  и  $g_1$ —костяныя кольца, соединяющія защитныя трубки съ трубкой вентилятора (с), и—отверстія вентилятора,  $k$  и  $k_1$  колпакъ вентилятора, п— заводной ключъ вентилятора,  $h$  и  $l$ —вилка, на которой подвѣшивается психрометръ,  $j$ —окошечко для повѣрки работы вентилятора.

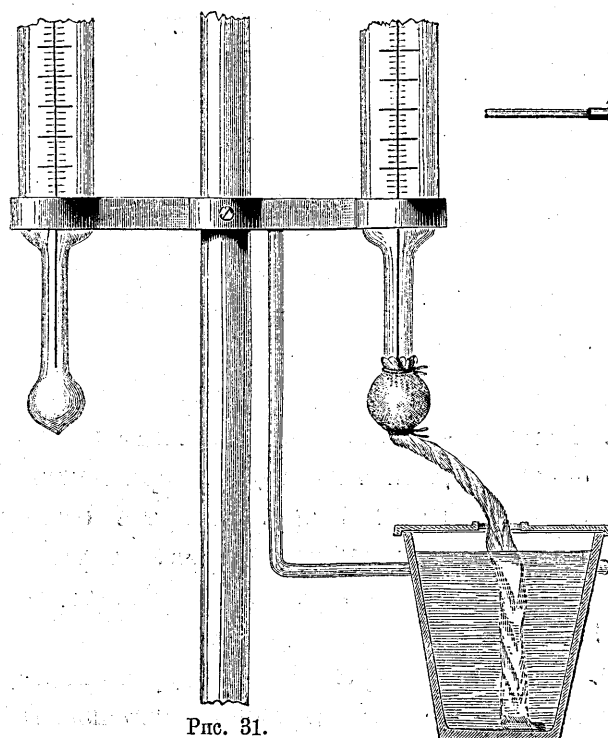


Рис. 31.

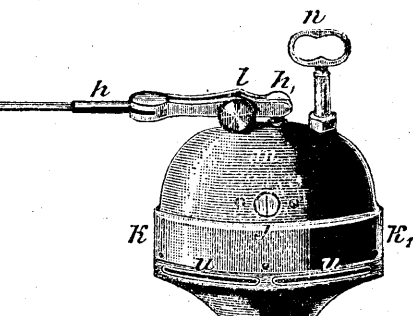


Рис. 32.

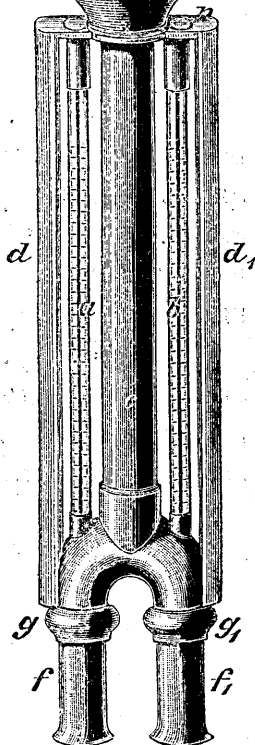


Рис. 33.

Рис. 34 (стр. 68). Нижняя часть психрометра Ассмана въ разрѣзѣ. Стрѣлками показано движение воздуха при вентиляції.  $q$ —резервуаръ смоченного термометра, обернутый батистомъ,  $t$  и  $t_1$ —внутреннія защитныя трубки,  $Z$ —начало трубки вентилятора (ея соединеніе съ защитными трубками), остальные буквы см. рис. 33.

Рис. 35 (стр. 72). Волосный гигрометръ съ двумя шкалами: нижней съ равными дѣленіями (градусы влажности) и верхней съ неравными дѣленіями, дающими непосредственно относительную влажность.

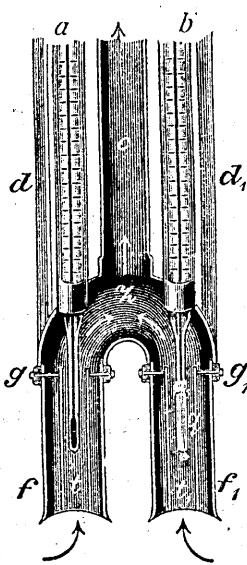


Рис. 34.

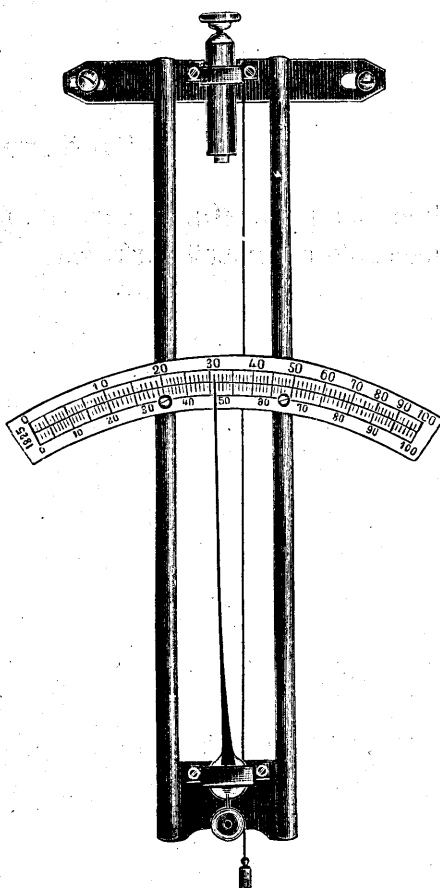


Рис. 35.

**Установка.**

Рис. 36 (стр. 80). Будка Вильда съ закрытой психрометрической цинковой клѣткой.

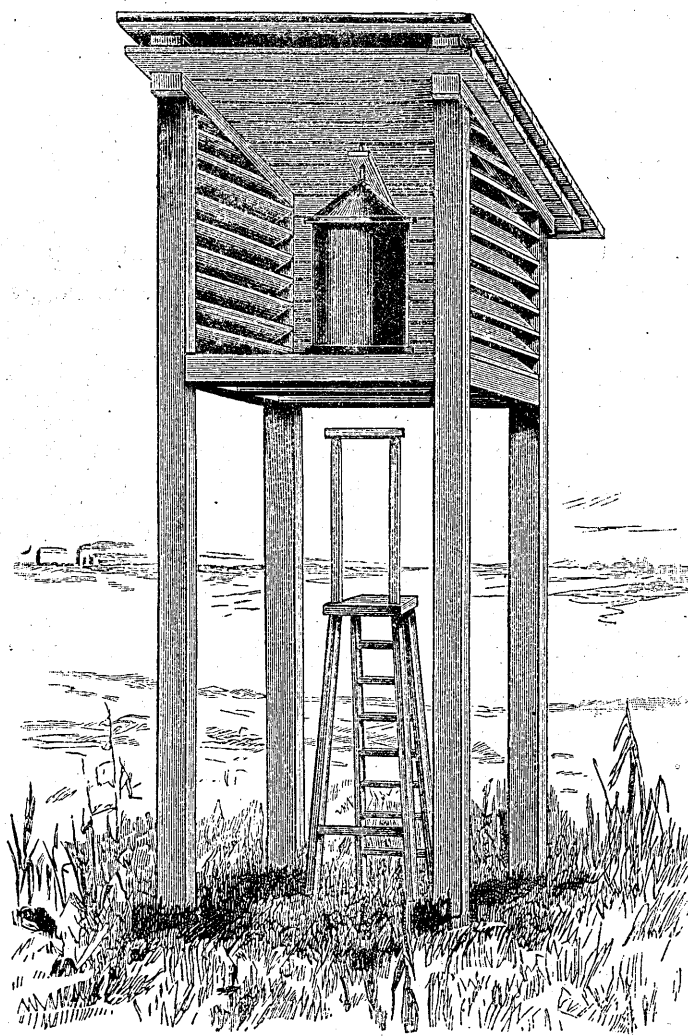


Рис. 36.

### Установка и осадки.

Рис. 37 (стр. 81). Цинковая психрометрическая клѣтка, открытая, безъ термометровъ и гигрометра, но съ подставками для нихъ.

Рис. 38 (стр. 82). Открытая англійская будка съ установленными въ ней термометрами.

Рис. 39 (стр. 88). Разрѣзъ дождемѣра съ Ниферовой защитой. Z—дождемѣрный сосудъ, а—б—обручъ, въ который вставляется дождемѣръ, с—внутреннее дно (верхнее) дождемѣра, d—носокъ для опоражниванія дождемѣра, е и е'—щитъ защиты.

Рис. 40 (стр. 89). Измѣрительный стаканъ, въ немъ воды 26 дѣленій (2.6 мм.).

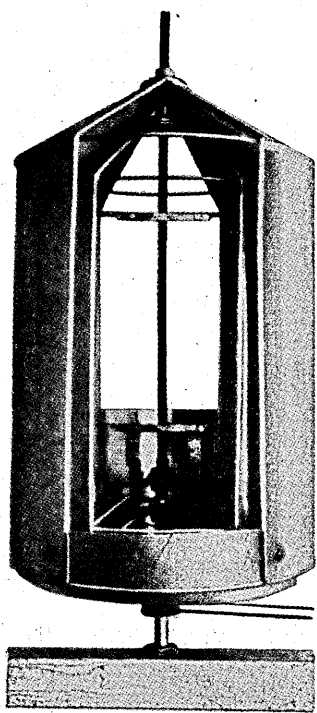


Рис. 37.

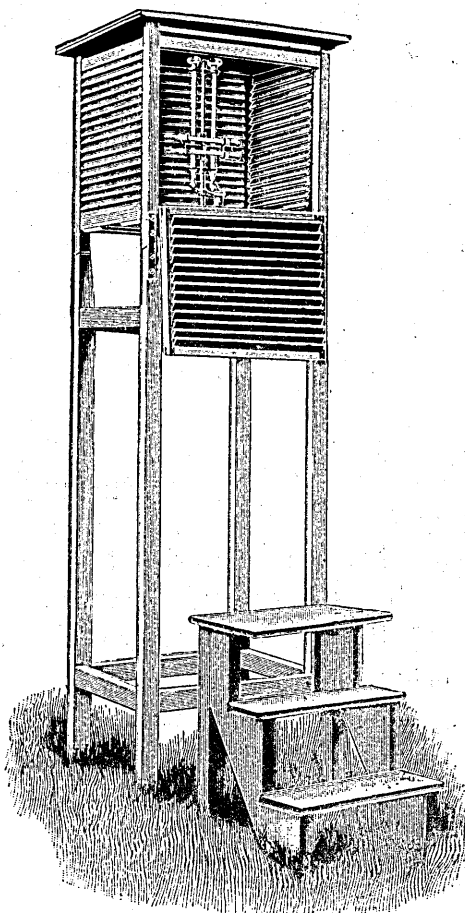


Рис. 38.

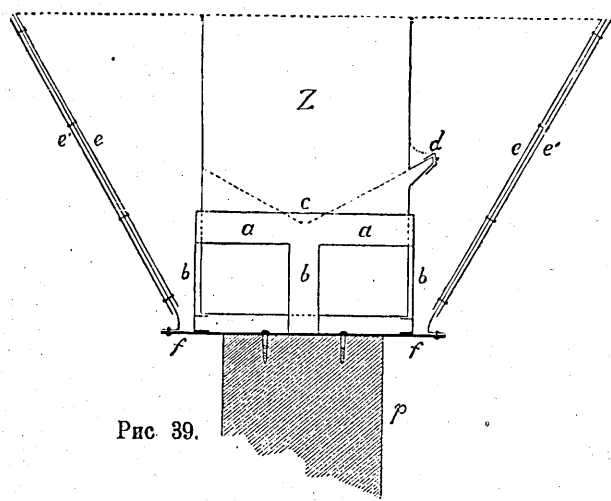


Рис. 39.

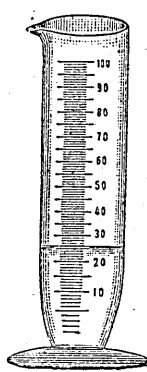


Рис. 40.

### Снѣжный покровъ.

Рис. 41 (стр. 93). Постоянная снѣгомѣрная рейка, линія а—б даеть отсчетъ по рейкѣ 16.

Рис. 42 (стр. 93, 94). Переносная рейка, справа конецъ рейки сбоку, обитый отъ а черезъ б до с жестью.

Рис. 43 (стр. 93). Установка постоянной рейки на ступеньку кола, вбитаго въ почву.

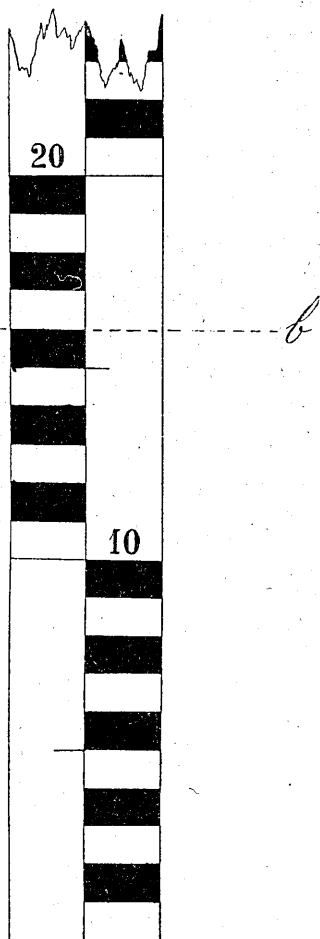


Рис. 41.

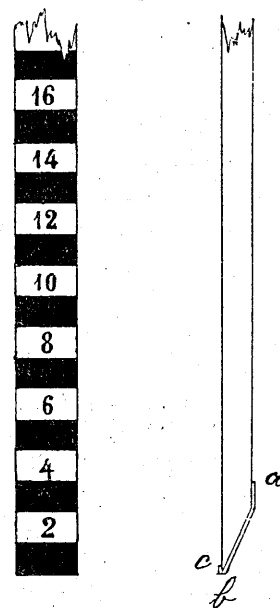


Рис. 42.

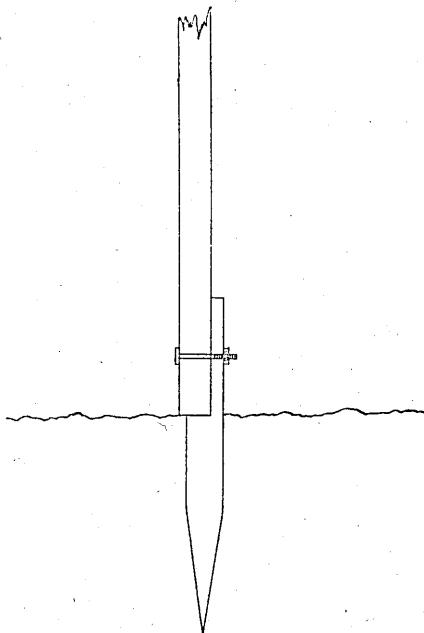


Рис. 43.

Рис. 44 (стр. 94). Воронка выдуванія около рейки. Пунктиромъ показаны разницы въ отсчетахъ, если ихъ производить съ разныхъ разстояній отъ рейки.

Рис. 45 (стр. 101). Цилиндръ съ приемной поверхностью въ 100 кв. см. для взятія пробъ снѣга для опредѣленія его плотности, рядомъ съ нимъ лопаточка, которая подсовывается подъ нижній край цилиндра при взятіи пробъ.

Рис. 46 (стр. 101). Сосудъ для снѣга.

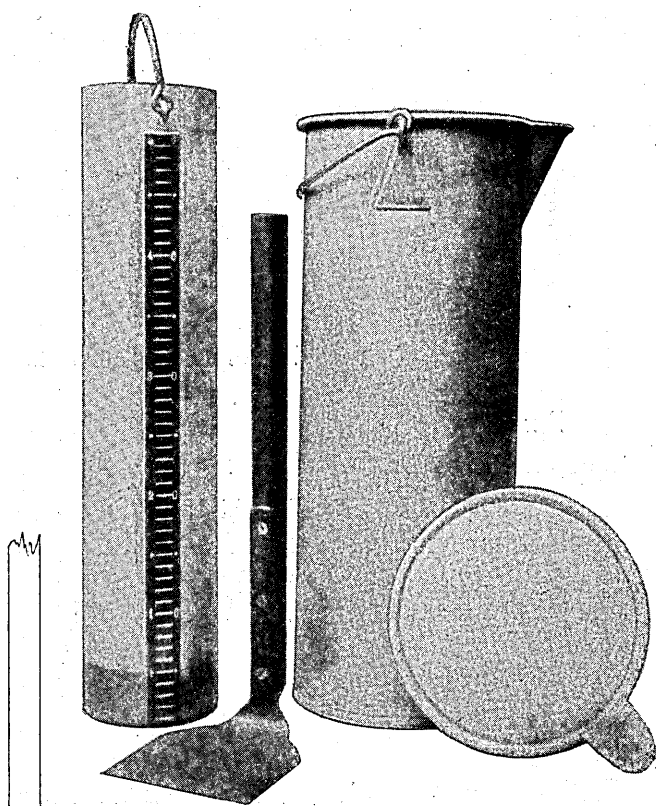


Рис. 45.

Рис. 46.

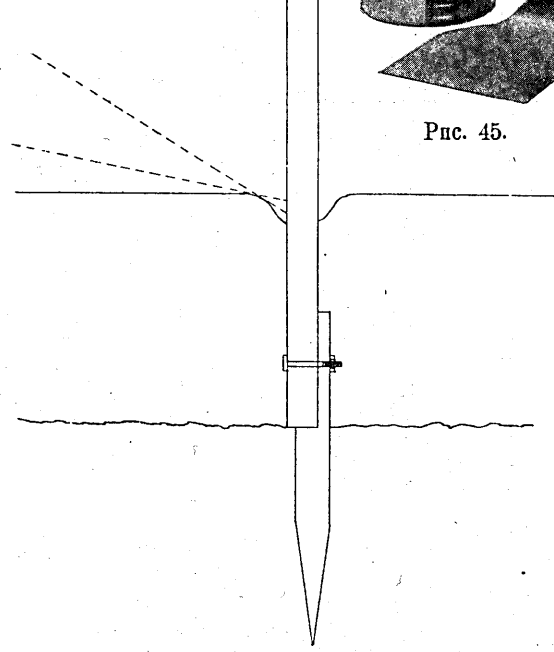


Рис. 44.

### Снѣжный покровъ и облачность.

Рис. 47 (стр. 103). Походный приборъ (съ приемной поверхностью въ 50 кв. см.) для определенія плотности снѣга; слѣва цилиндръ для взятія пробъ, справа вѣсы, а между ними лопаточка для выниманія цилиндра изъ снѣга.

Рис. 47а (стр. 103). Походный приборъ въ томъ положеніи, какъ производится взвѣшиваніе пробъ.

### Облака.

#### *A. Самыя высокія облака.*

Рис. 48 (Ci) (стр. 111. 112). Перистыя (Cirrus 7—11 кл.).

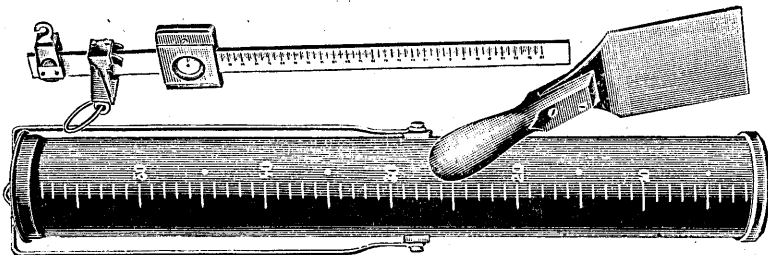


Рис. 47.

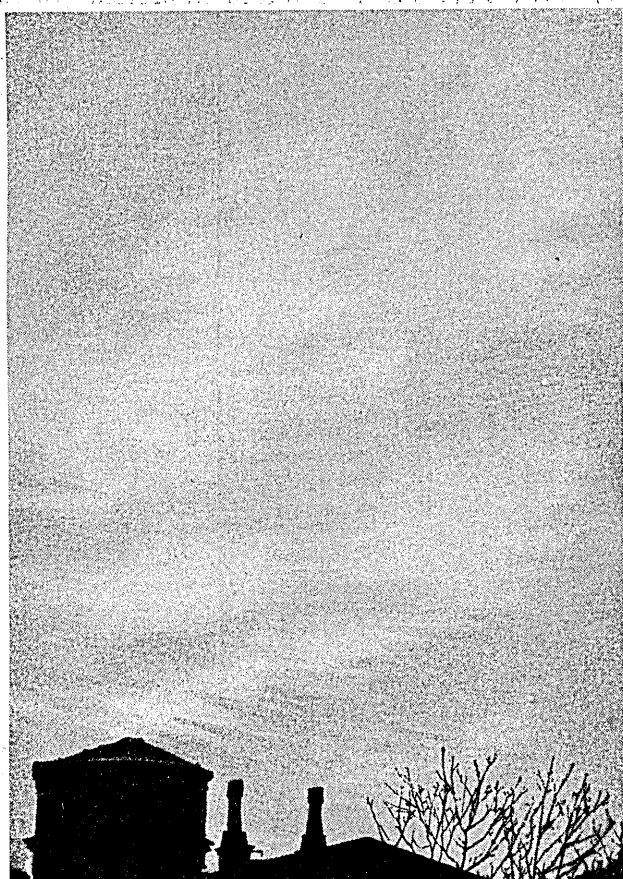


Рис. 48.

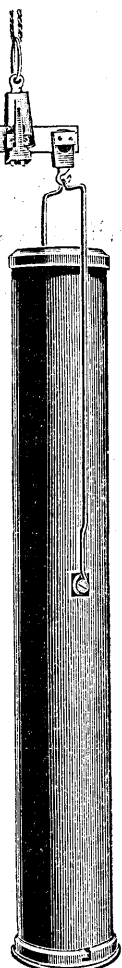


Рис. 47а.

\*

Рис. 49 (Ci-St) (стр. 111, 112). Перисто-слоистые (Cirro-Stratus 6—9 кл.).



Рис. 49.

*B. Облака средней высоты.*

Рис. 50 (Ci-Cu) (стр. 111. 112). Перисто-кучевое (Cirro-Cumulus 6,5 км.).

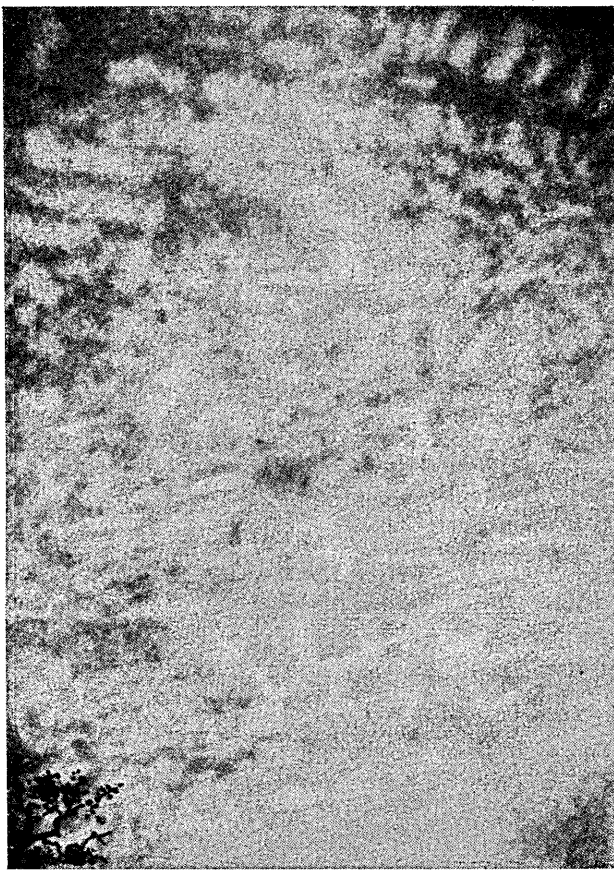


Рис. 50.

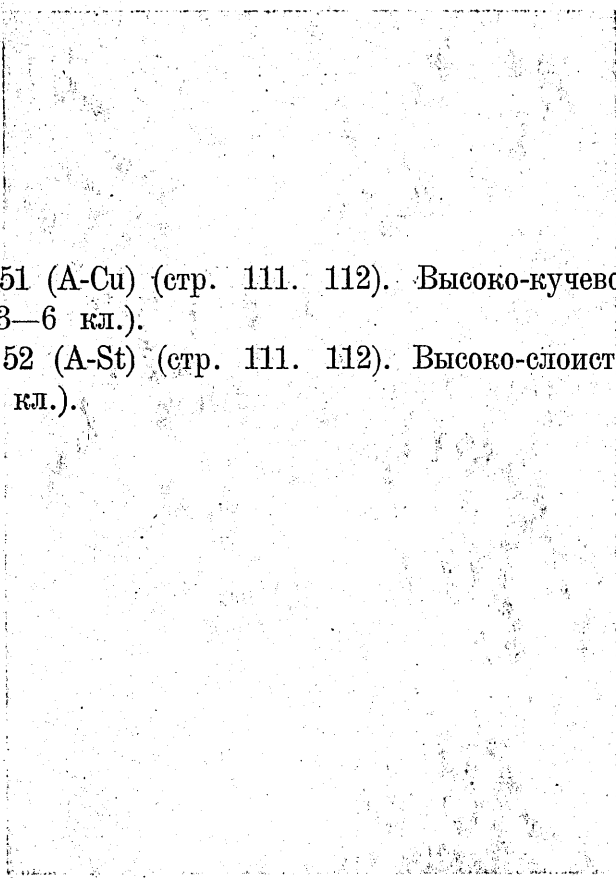


Рис. 51 (A-Cu) (стр. 111. 112). Высоко-кучевое (Alto-Cumulus 3—6 кл.).

Рис. 52 (A-St) (стр. 111. 112). Высоко-слоистое (Alto-Stratus 5 кл.).



Рис. 51.

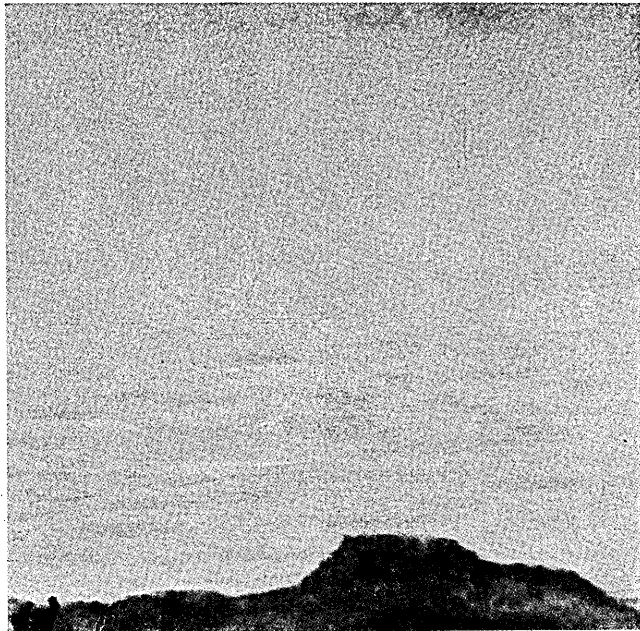


Рис. 52.

*C. Низкія облака.*

Рис. 53 (St-Cu) (стр. 111. 113). Слоисто-кучевое (Strato-Cumulus 2 кл.).

Рис. 54 (N) (стр. 111. 113). Дождевое (Nimbus 1.5 кл.).



Рис. 53.

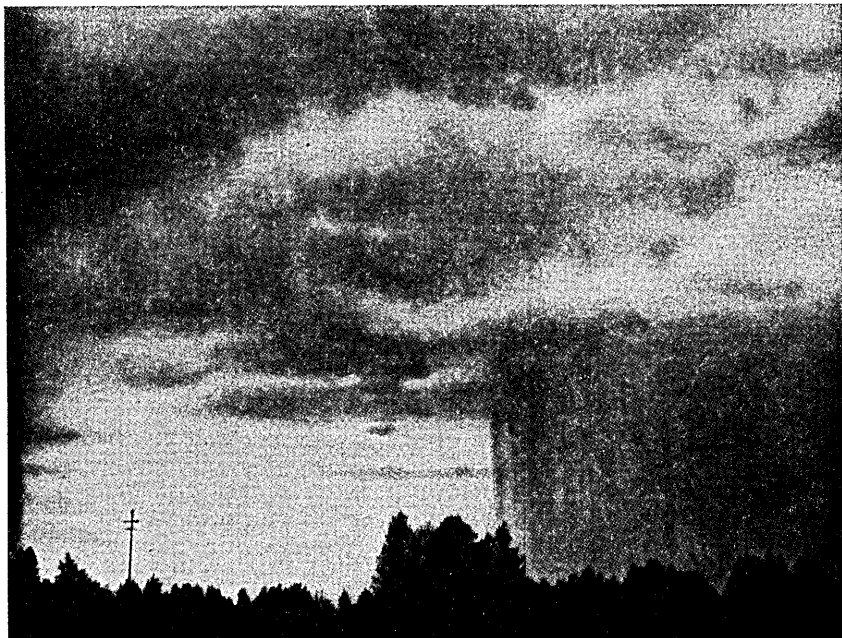


Рис. 54.

*Д. Облака восходящих токовъ.*

Рис. 55 (Cu) (стр. 112. 113). Кучевое (Cumulus основание 1.4, вершина 1.8 кл.).

Рис. 56 (Cu-N). (стр. 112. 113). Грозовое (Cumulo-Nimbus основание 1.4, вершина 3—5 кл.).

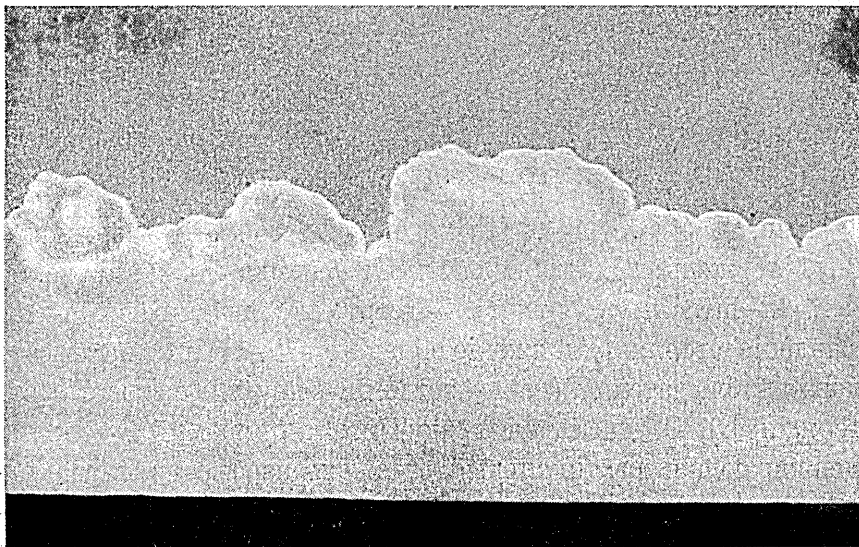


Рис. 55.



Рис. 56.

### Е. Притопнятый туманъ.

Рис. 57 (St) (стр. 112. 113). Слоистое (Stratus ниже 1 кл.). Въ просвѣтахъ слоистыхъ облаковъ птицы.

Рис. 58 (стр. 114). Нефоскопъ Бессона. А—вертикальный стержень, В—горизонтальный стержень, а, б, с, д, е, і, к—шифты стержня, Z—стрѣлка, указывающая направление стержня (движение облаковъ), Т—мѣтка на высотѣ глаза наблюдателя (на разстояніи двухъ метровъ отъ стержня В), С—дискъ съ градусами и румбами, D—муфта, удерживающая вертикальный стержень на высотѣ глаза наблюдателя, U—поперечный стержень съ веревочками, посредствомъ которыхъ нефоскопъ поворачивается вокругъ своей оси, К, Л и М—кронштейны, поддерживающие всю систему въ вертикальномъ положеніи, S—указатель на нижнемъ (М) кронштейнѣ противъ диска С, указывающей страну свѣта, къ которой обращена стрѣлка Z.

Рис. 59 (стр. 116). См. стр. 116  $\left( \frac{AC}{BD} = \frac{OA}{OB} \right)$ ; рис. 59<sup>a</sup>  $\frac{OA}{OB} = \frac{AA_1}{VB_1}$ , откуда  $\frac{AC}{BD} = \frac{AA_1}{VB_1}$ , где AC—высота зубцовъ отъ мѣтки (2 мтр.); BD—высота облака (H); AA<sub>1</sub>—разстояніе между зубцами (0.20 мтр.); VB<sub>1</sub>—разстояніе, пройденное облакомъ (vt см. стр. 116), послѣ подстановки значеній  $v = \frac{H}{10t}$ , где v—скорость, а t—число секундъ наблюденій).

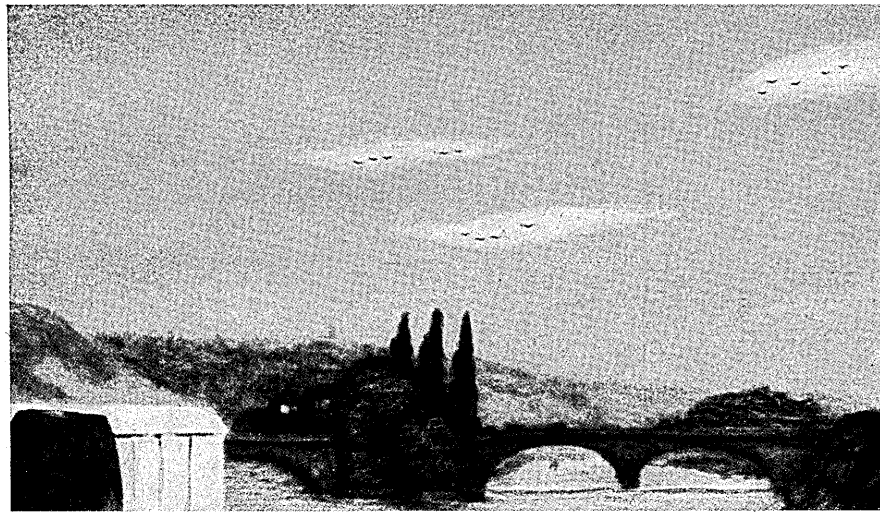


Рис. 57.

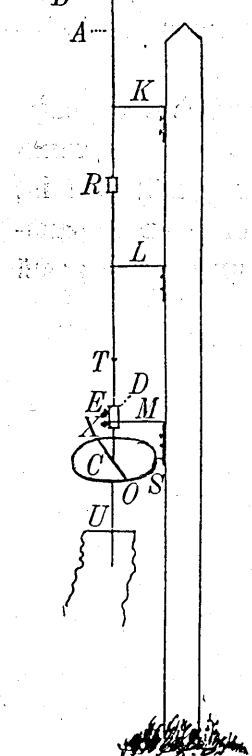
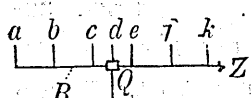


Рис. 58.

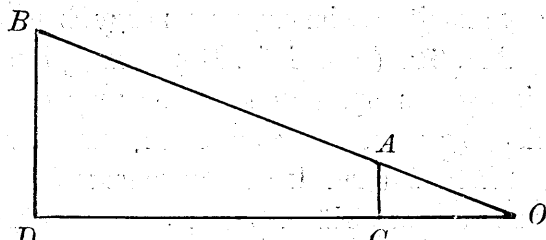
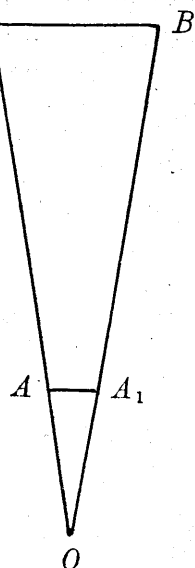
Рис. 59.  $B$ 

Рис. 59а.

Рис. 60 (стр. 119). Геліографъ Кемпбеля-Стокса. А—подвижная часть, въ которую вставляется лента Р, в—неподвижная часть подставки геліографа съ градусами широты, по которымъ устанавливается А, с—подставка, на которой лежить стеклянный шаръ геліографа.

Рис. 60а (стр. 119). Бумажки (ленты) для геліографа Кемпбеля-Стокса. а—для зимы, в—для осени и весны и с—для лѣта.

Рис. 61 (стр. 121). Геліографъ Величко. А—винтъ, за-крѣпляющій геліографъ на градусѣ широты станціи.

Рис. 61а (стр. 121). Пружины  $g$   $h$  вставлены въ цилиндръ геліографа и прижимаютъ бумажку къ его стѣнкамъ,  $g^1$   $h^1$ —та же пружина, вынутая изъ цилиндра.

Рис. 62 (стр. 121). Расположеніе на бумажкѣ геліографа Величко отверстій а, в и с, соответствующихъ тремъ щелямъ цилиндра (а—восточной, с—южной и в—западной), линія, отмѣченная 9, 12 и 3 при правильной установкѣ, находится въ плоскости меридіана станціи и противъ южной щели.

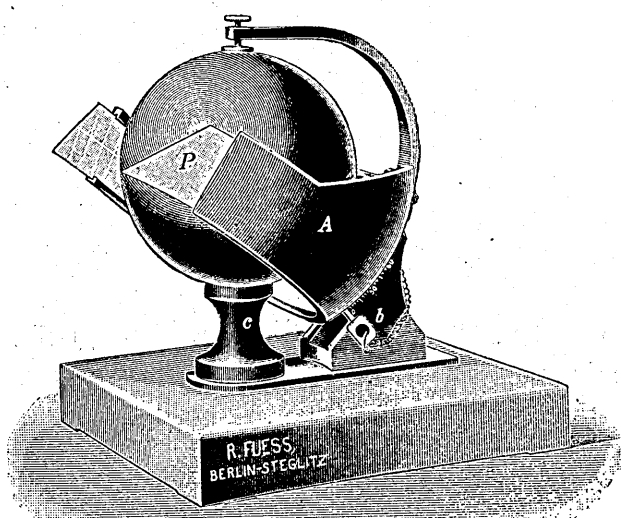


Рис. 60.

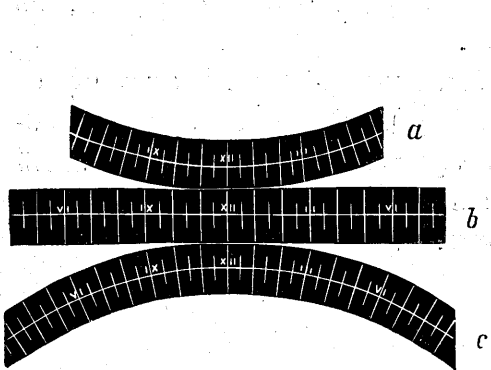


Рис. 60а.

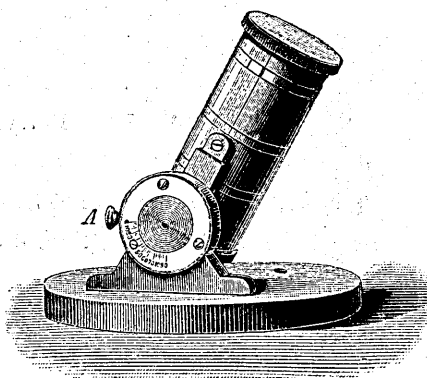


Рис. 61.

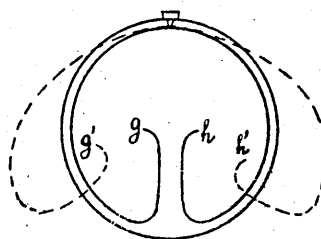


Рис. 61а.

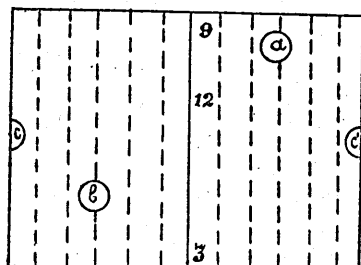


Рис. 62.

## Вѣтеръ.

Рис. 63 (стр. 127). Флюгеръ Вильда съ одной доской. а—подвижная трубка флюгера, б—муфта съ флюгеромъ (с—доски, д—стержень съ противовѣсомъ е), ф—брюсокъ, прикрепленный кольцомъ г къ трубкѣ а, к—винтики, поддерживающіе доску, г—дуга со штифтами, показывающими высоту поднятія доски і, і—неподвижный стержень флюгера, на верхнюю часть которого надѣта трубка а, п—указатели главныхъ странъ свѣта, о—указатели промежуточныхъ странъ свѣта, ю—муфта, въ которой укрѣплены указатели.

Рис. 64 (стр. 132. 134). Карманный анемометръ Фусса (съ робинзоновыми полушаріями). Большая стрѣлка показываетъ число оборотовъ полушарій отъ 1 до 100 (полный кругъ), маленькая стрѣлки показываютъ сотни, тысячи, десятки тысячъ и т. д. оборотовъ.

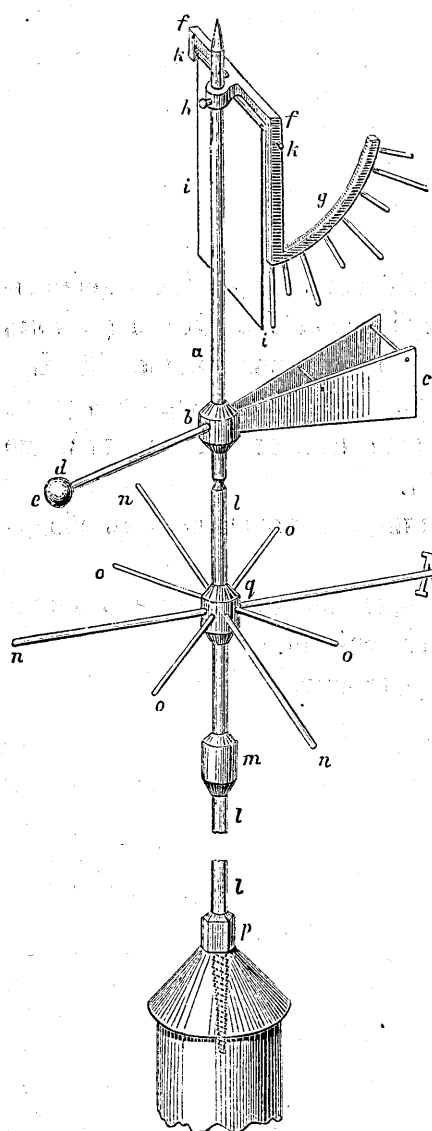


Рис. 63.

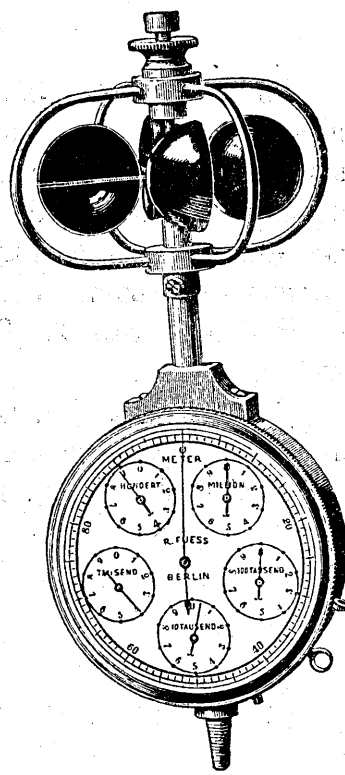


Рис. 64.

Рис. 65 (стр. 136). Электрическій анемометръ. АА—робинзоновы полушарія, К—коробка съ зубчаткой Н, замыкающей токъ черезъ а и въ черезъ каждые 100 оборотовъ полушарій, L—стержень флюгера, МН—флюгеръ, R—эбонитовая чашка съ кольцомъ п и съ 8 медными пластинками т на днѣ, по которымъ скользятъ ползунки 1.

Рис. 65а (стр. 136). Схема кольца и пластинокъ въ эбонитовой чашкѣ.

Рис. 65б (стр. 136). Схема соединенія проводовъ съ 8 пластинками и робинзоновыми полушаріями.

Рис. 66 (стр. 139). Разрѣзъ счетчика.

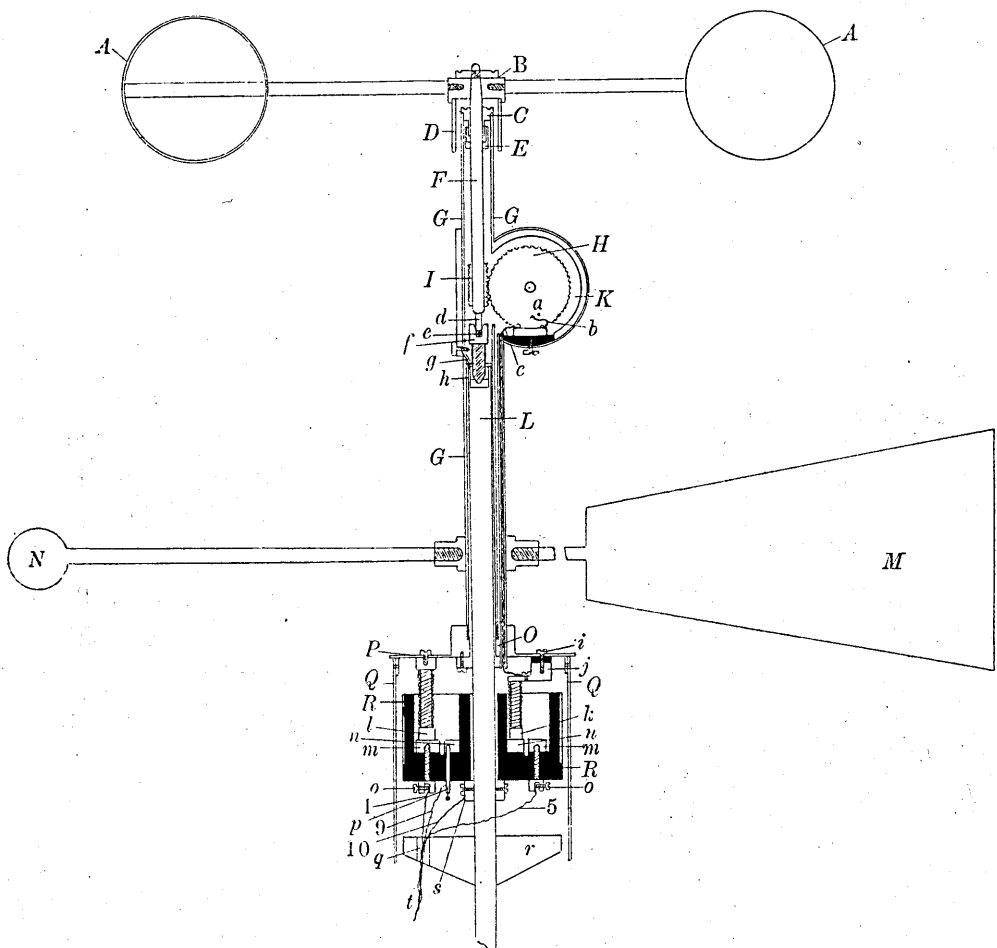


Рис. 65.

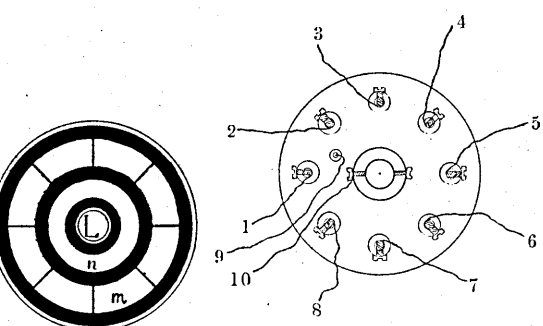


Рис. 65а.

Рис. 65в.

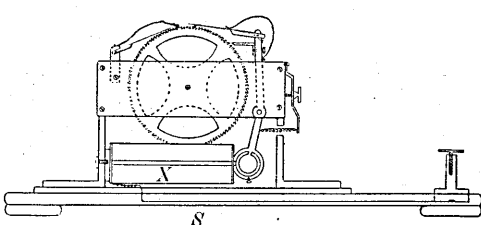


Рис. 66

Рис. 67 (стр. 139). Схема проводовъ электрическаго анемометра: U—ключъ-выключатель, 12—проводъ отъ ключа U къ счетчику S; 9—проводъ отъ счетчика S къ коробкѣ K (рис. 65); 13—проводъ отъ ключа къ углю батареи Z, 11—проводъ, соединяющій ключъ съ клапаннымъ аппаратомъ T, и 10—проводъ, соединяющій стержень флюгера (L рис. 65) съ цинкомъ батареи Z.

Рис. 68 (стр. 140). Записывающая часть анемографа Фрейберга.

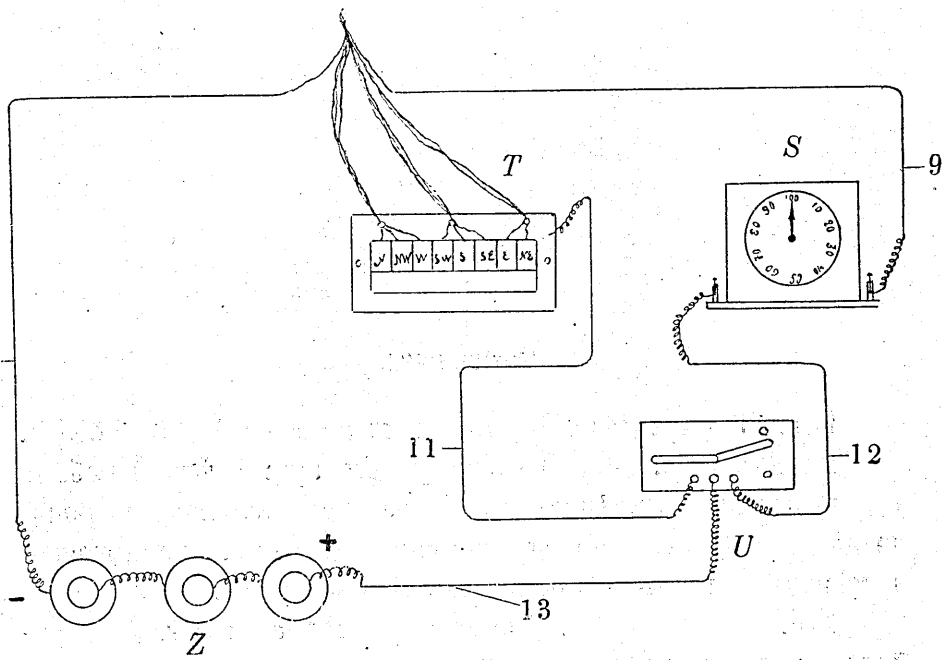


Рис. 67.

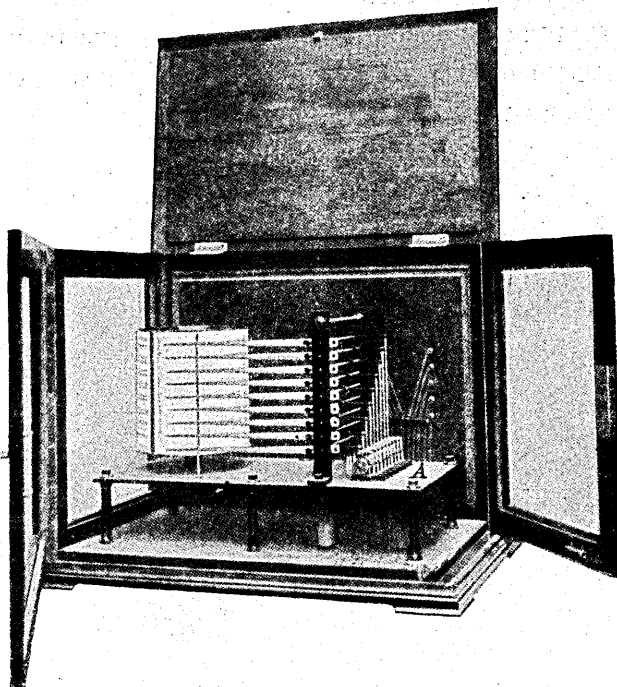


Рис. 68.

### Самописцы.

Рис. 69 (стр. 141). Часть ленты анемографа Фрейберга.

Рис. 70 (стр. 146). Барографъ Ришара: слѣва барабанъ съ часовыимъ механизмомъ, посрединѣ колонка анероидныхъ коробокъ, справа система рычаговъ, передающая измѣненія высоты колонки рычагу съ перомъ.

Рис. 71 (стр. 147). Термографъ Ришара: слѣва барабанъ съ часовыимъ механизмомъ, посрединѣ система рычаговъ, управляющая движениемъ рычага съ перомъ, справа изогнутая латунная коробка со спиртомъ (воспринимающая часть), сверху ея рычагъ съ пружиннымъ винтомъ для измѣненія ея положенія.

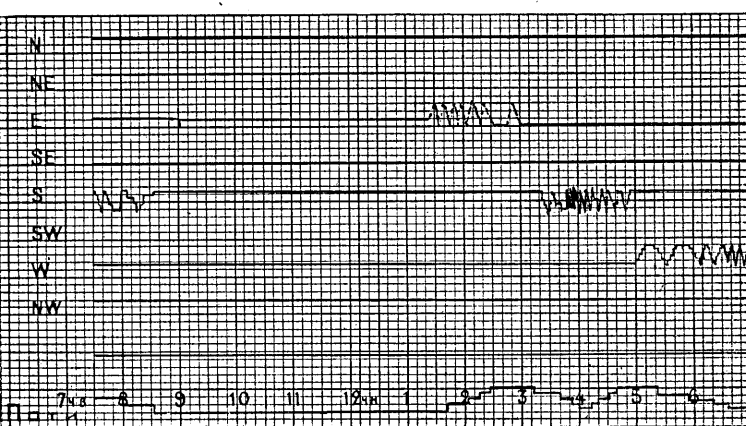


Рис. 69.

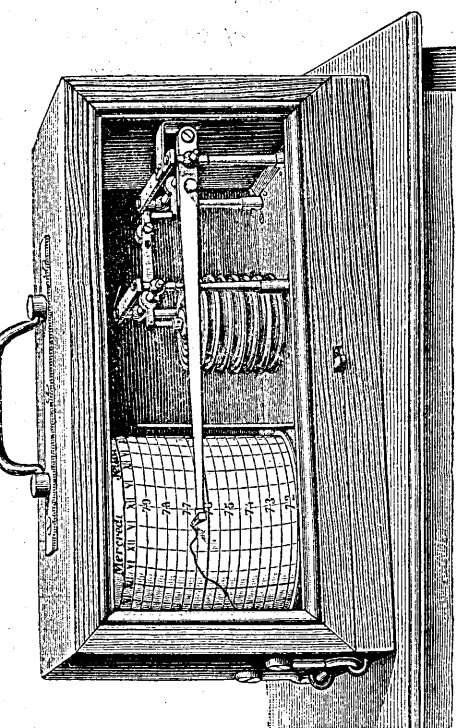


Рис. 70.

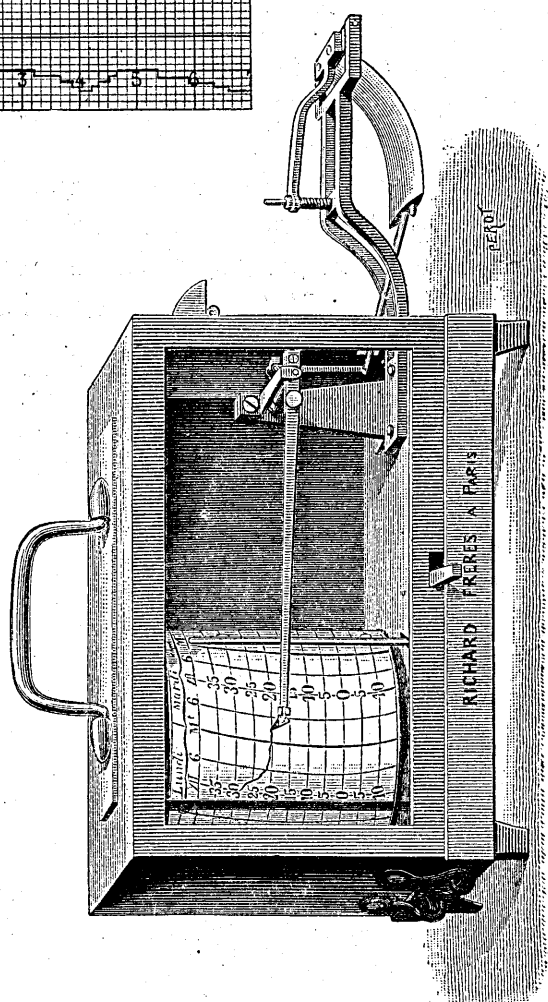


Рис. 71.

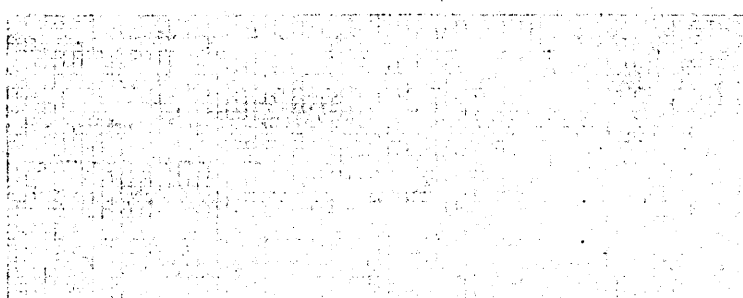


Рис. 72 (стр. 149). Гигрографъ Ришара: слѣва барабанъ съ часовыимъ механизмомъ, посрединѣ система рычаговъ, а справа между стойками въ видѣ двухъ сторонъ трехугольника пучекъ волосъ.

Рис. 73 (стр. 150). Часть ленты термографа въ нѣсколько увеличенномъ видѣ, на кривой между 8 и 10, 6 и 8, и послѣ линіи полудня видны знаки контрольныхъ мѣтокъ.

Рис. 74 (стр. 156). Плювіографъ Гельмана-Фусса (Мюллера): Т—барабанъ съ часовыимъ механизмомъ, G—цилиндръ для стока воды изъ приемника, сбоку цилиндра трубка сифона. S—стержень поплавка въ цилиндрѣ G, къ стержню прикреплено перо.

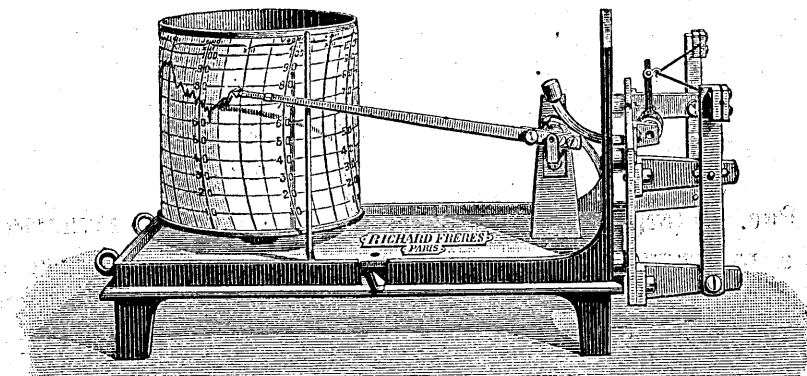


Рис. 72.

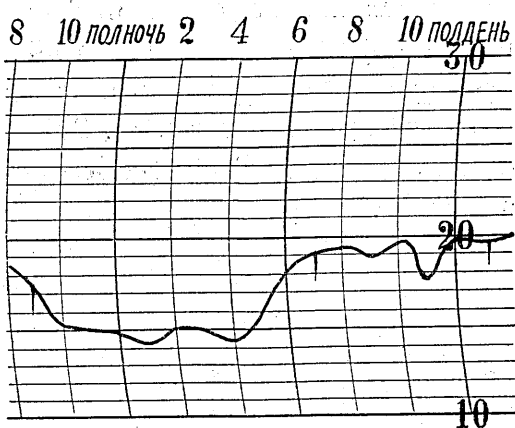


Рис. 73.

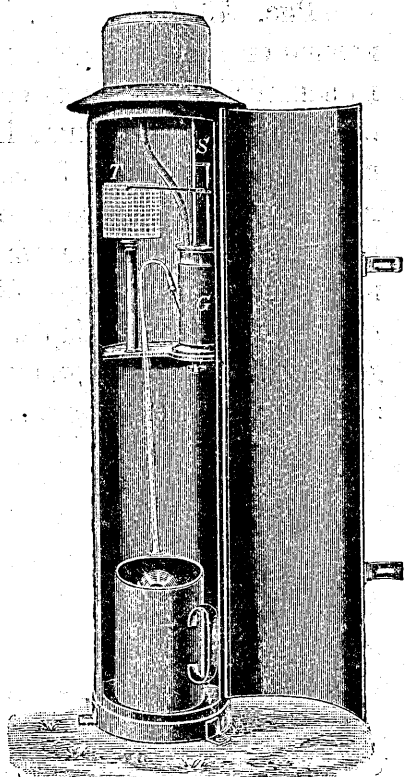


Рис. 74.

Рис. 75 (стр. 157). Часть ленты пловіографа Гельмана-Фусса въ натуральную величину. До 12 ч. 2 м. дождя не было, съ 12 ч. 2 м. до 1 час. выпало 0.8 мм., съ 1—2 ч. выпало 1.4 (1.2 до опоражнивания и 0.2 послѣ), съ 2 до 3 ч.—0.8 мм.; съ 3 до 4 ч. 7.3 мм.; съ 4 до 5—9.5 мм. съ 5 часовъ осадки прекратились; такимъ образомъ на лентѣ записано 19.8 мм. выпавшихъ осадковъ.

Рис. 76 (стр. 159). Пловіографъ Рорданца. А—мѣдное кольцо съ приемной поверхностью въ 500 кв. см., укрѣпленное на защитѣ W приемника осадковъ В, С—Ниферова защита, D—верхнее дно приемника, L—отверстіе цилиндра F для стока воды изъ приемника, f—сифонъ для опоражнивания цилиндра F, e—трубка, поддерживающая призмами s и s' цилиндръ F на вѣсахъ, d—коромысло вѣсовъ, g—грузъ, уравновѣшивающій приемникъ В и цилиндръ F, g'—грузъ, регулирующій точность вѣсовъ, r—перо, h—барабанъ съ часовымъ механизмомъ, Gt—демферъ. Е—сосудъ для воды изъ цилиндра F, а—шкафикъ, защищающій механизмъ пловіографа.

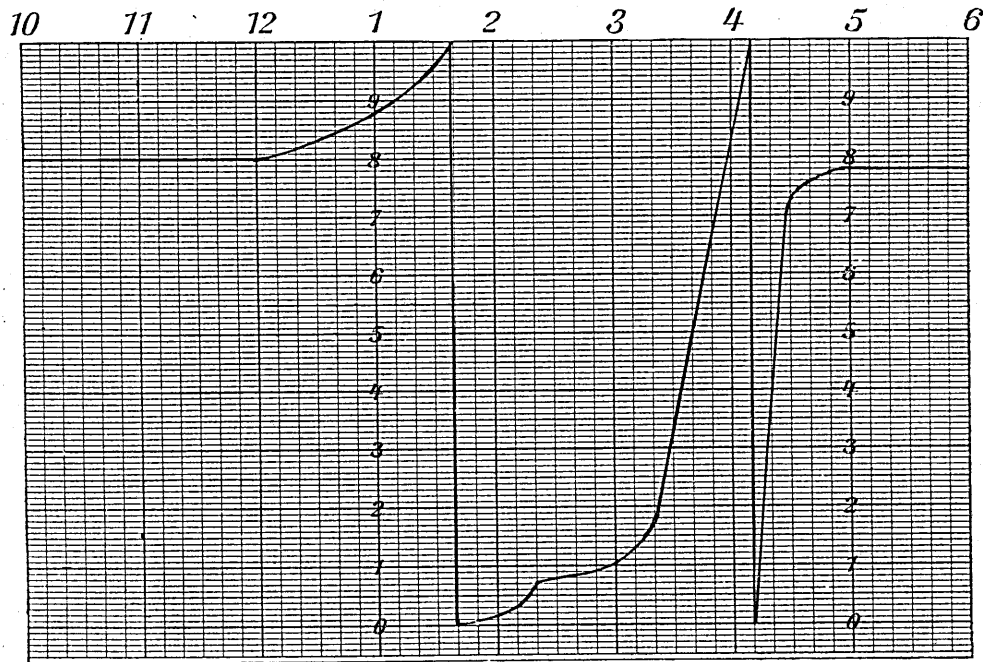


Рис. 75.

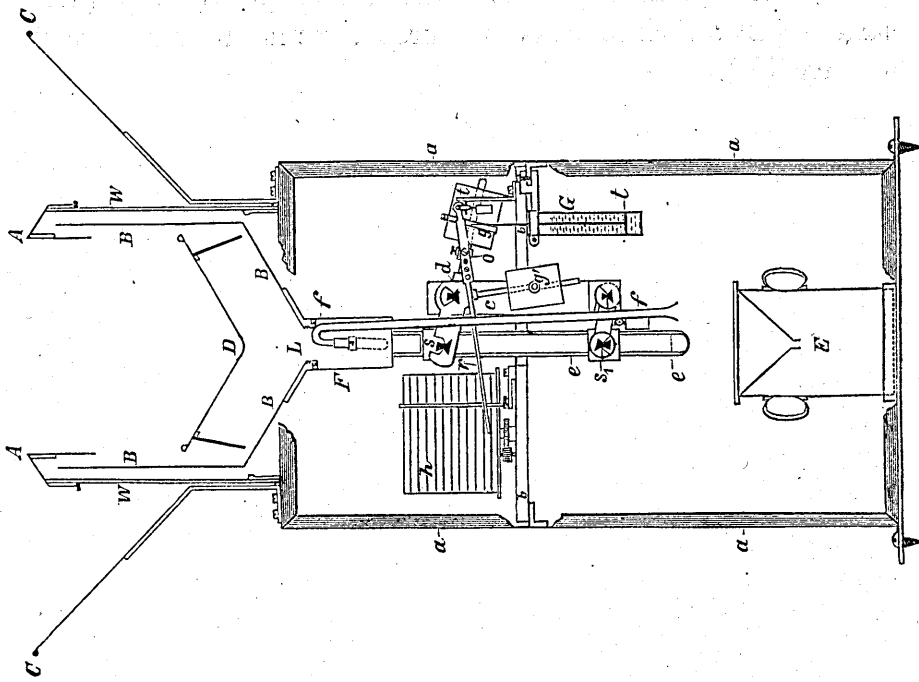


Рис. 76.

Рис. 77 (стр. 163). Регистрирующая часть анемографа Тимченко: а—стержень, передающий движение воспринимающей части прибора, е—кругъ съ румбами, укрепленный на стержнѣ а, f—неподвижный индексъ для круга е, b—стрѣлка, которой оканчивается стержень а и которая дѣлаетъ отмѣтки на бумажной лентѣ kk', надѣтой на барабанъ, приводимый въ движение часовыемъ механизмомъ n; d—кружокъ съ краской, на который опирается стрѣлка b.

Рис. 78 (стр. 165). Часть ленты анемографа Тимченко съ отмѣтками стрѣлкой (b) направленія и скорость вѣтра (чѣмъ чаще стрѣлки, тѣмъ сильнѣе вѣтеръ, чѣмъ онъ рѣже, тѣмъ онъ слабѣе).

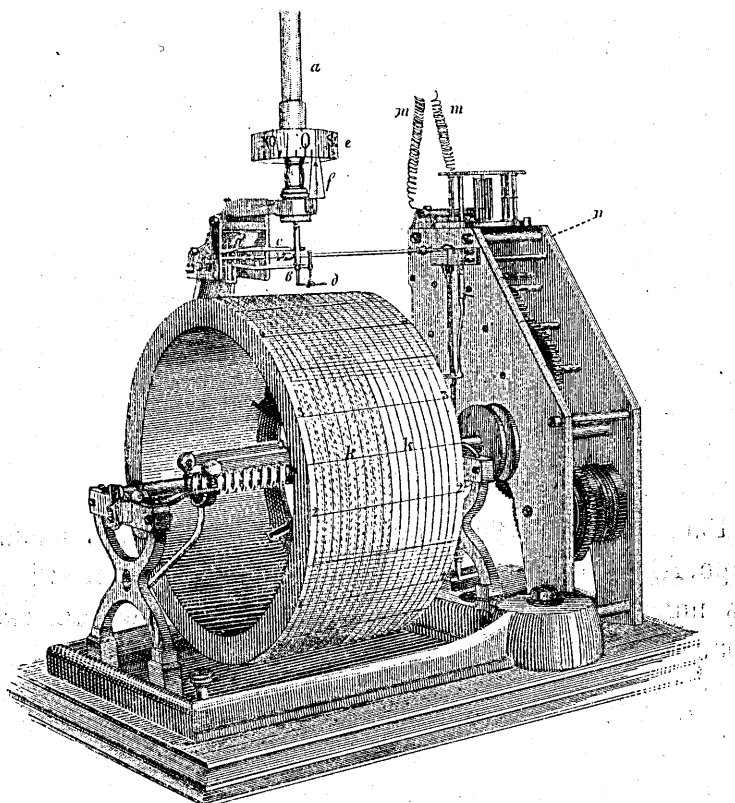


Рис. 77.

СЪВЕРЬ												СЪВЕРЬ											
12ч.	20	21	22	23	24	25	26	27	28	29	30	1	2	3	4	5	6	12ч.					
С	х	х	х	х	х	х	х	х	х	х	х	х	х	х	х	х	х	С	х	х	х	х	
ъ	х	х	х	х	х	х	х	х	х	х	х	х	х	х	х	х	х	ъ	х	х	х	х	
в	х	х	х	х	х	х	х	х	х	х	х	х	х	х	х	х	х	в	х	х	х	х	
р	х	х	х	х	х	х	х	х	х	х	х	х	х	х	х	х	х	р	х	х	х	х	
11ч.	1	1	1	1	1	1	1	1	1	1	1	1	1	1	1	1	1	11ч.					
Ю	Г	Р	Ю	Г	Р	Ю	Г	Р	Ю	Г	Р	Ю	Г	Р	Ю	Г	Р	Ю	Г	Р	Ю	Г	

Рис. 78.

Рис. 79 (стр. 166). Воспринимающая часть анемографа Мунро АВА—флюгеръ системы Салейрона (направлініе вѣтра), надъ нимъ система робинзоновыхъ полушарій для скорости вѣтра.

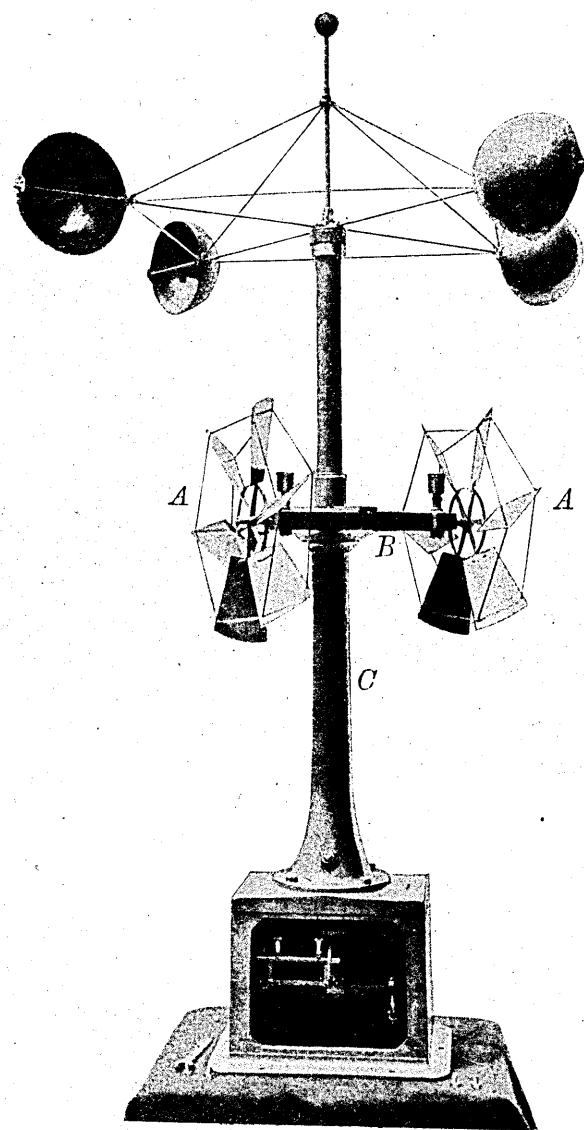


Рис. 79.

Рис. 80 (стр. 166). Регистрирующая часть аномографа Мунро. А—стержень, передающий движение флюгера Салейрона, G—стержень, передающий движение робинзоновыхъ полушарій, В—цилиндръ, приводимый въ движение стержнемъ А, а цилиндръ F стержнемъ G, С—мѣдные выступы на цилиндрахъ В и F, прикасающіеся и оставляющіе слѣдъ (запись) на бумагѣ (мѣловой) Н, надѣтой на барабанъ, приводимый въ движение часовымъ механизмомъ І, D—винтъ, посредствомъ котораго поднимаются пишущіе цилиндры (В и F), Е—шилька, посредствомъ которой дѣлается на бумагѣ Н отмѣтка времени К,—винтъ, освобождающей барабанъ.

Рис. 81 (стр. 167). Лента съ записью аномографа Мунро въ уменьшенномъ видѣ.

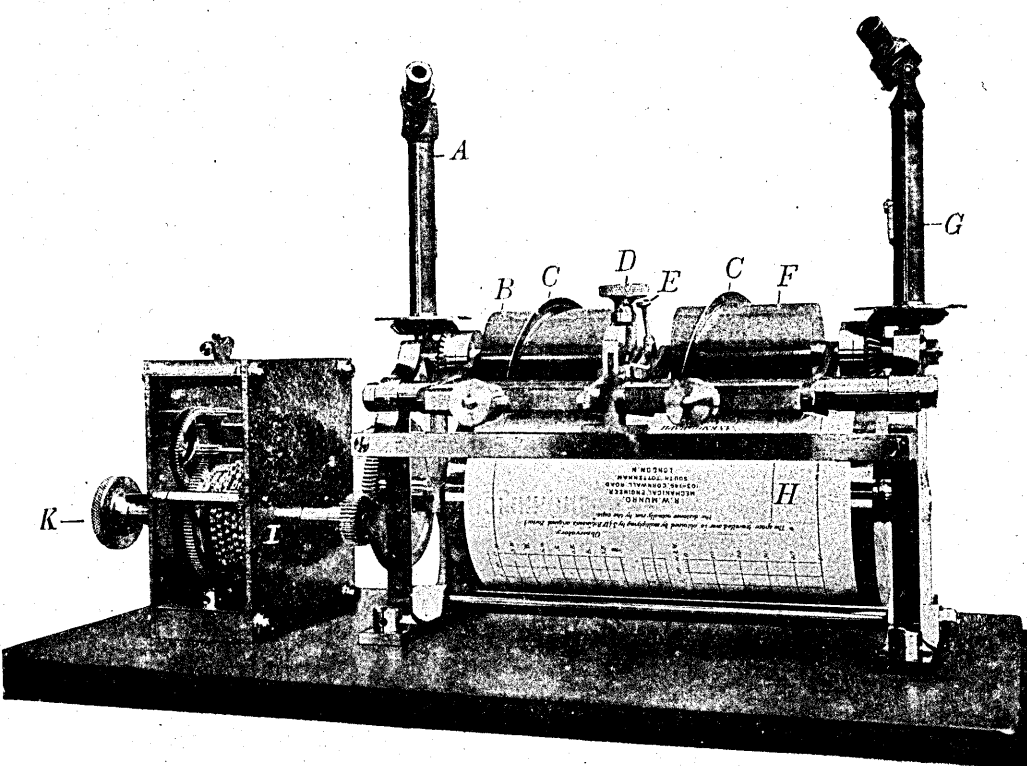


FIG. 80.

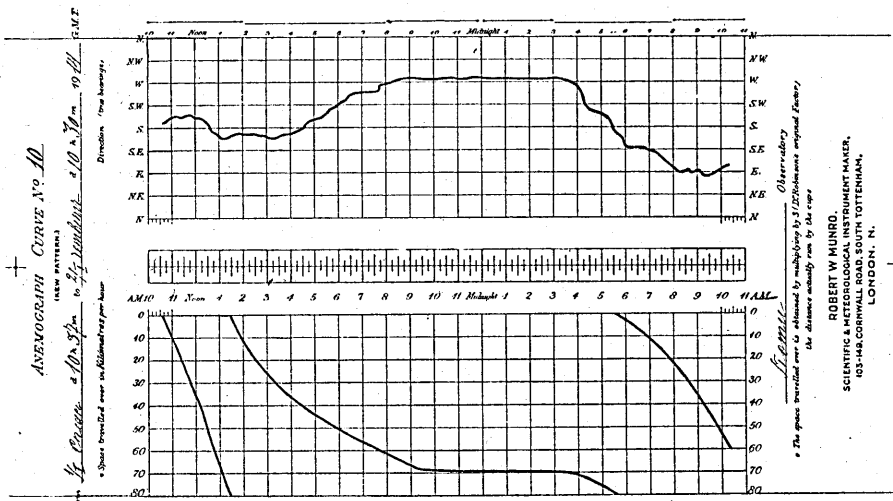


FIG. 81.

**Солнечные часы.**

Рис. 82 (стр. 180). Солнечные часы домашнего приготовления. Линия N—S—меридианъ, a, b, c—концы тѣни вертикального стержня, укрѣпленного въ точкѣ О до полудня, d, e, f—концы тѣни стержня послѣ полудня.

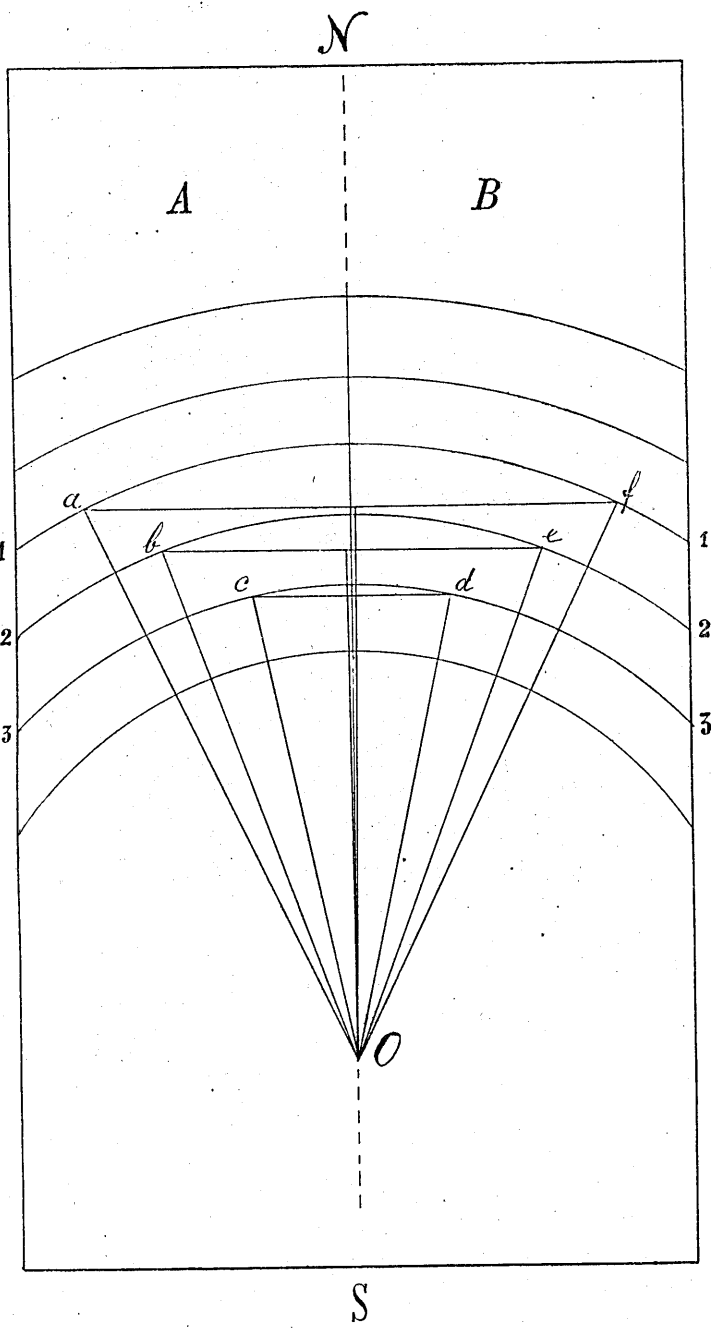


Рис. 82.

Рис. 83 (стр. 182). Кольцо Глазенана, установленное для наблюдений. Слъва, противъ верхняго угла рамки, въ которой подвѣщено кольцо,—темное пятно, на немъ отверстіе, черезъ которое проходятъ солнечные лучи, дающіе свѣтлый кружокъ на шкалѣ противъ этого отверстія.

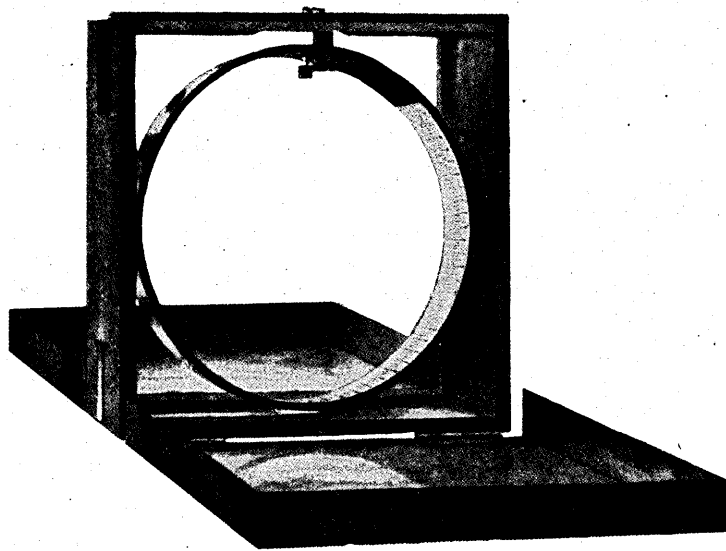


Рис. 83.